

40967

T.C.
Marmara Üniversitesi
Sağlık Bilimleri Enstitüsü
Mikrobiyoloji Anabilim Dalı

**CANDIDA ALBICANS'A KARŞI FLUKONAZOL'ÜN
İNSAN POLİMORF NÜVELİ LÖKOSİT FONKSİYONLARI ÜZERİNE
İN VİVO ETKİSİNİN ARAŞTIRILMASI**

(DOKTORA TEZİ)

Bio. Ümran SOYOĞUL M.Sc.

DANIŞMAN
Prof. Dr. Adile ÇEVİKBAŞ
Marmara Üniversitesi
Eczacılık Fakültesi
Farmasötik Mikrobiyoloji
Anabilim Dalı
Başkanı

İstanbul - 1994

ÖNSÖZ

Candida albicans'a karşı, bir antifungal ilaç olan flukonazol'ün insan polimorf nüveli lökosit fonksiyonları üzerine in vivo etkisinin araştırıldığı bu çalışma M.Ü. Eczacılık Fakültesi Farmasötik Mikrobiyoloji Anabilim Dalı'nda yürütülmüştür.

Doktora öğrenimim süresince ve tezin hazırlanmasında çok kıymetli bilgi ve deneyimleri ile beni yönlendiren tez danışmanım, değerli hocam Prof. Dr. Adile ÇEVİKBAŞ'a, yakın ilgisi, teşvik ve cesaretlendirmesi ile bana moral veren ve her zaman yanımdayan değerli hocam Prof. Dr. Candan Bozok JOHANSSON'a en içten teşekkürlerimi sunarım. Ayrıca bu çalışmaya gönüllü katılan deneklere teşekkür etmeyi borç bilirim.

Tezin yazılışında yakın arkadaşlıklarım ve bilgisayar deneyimlerinden yararlandığım Dr. Dumrul GÜLEN, Dr. Oğuz ÖZYARAL'a ve tezin istatistik olarak değerlendirilmesini yapan Öğr.Gör. Nural BEKİROĞLU'na ayrıca çalışmalarımda her konuda yardım ve ilgiyi esirgemeyen arkadaşlarım Uzm.Bio. Necdet DUMAN ve Bio. Koray DERİCİ'ye ve her zaman yakın desteklerini eksik etmeyen annem ve babama en içten teşekkürlerimi sunarım.

İÇİNDEKİLER

	Sayfa
GİRİŞ	1
GENEL BİLGİLER	3
Candida albicans Hakkında Genel Bilgiler	3
Flukonazol Hakkında Genel Bilgiler	6
Fagositoz Hakkında Genel Bilgiler	9
I. Fagositik Hücreler	9
I.a. Polimorf Nüvelli Lökositler (PNL)	9
I.a.1. Nötrofiller	10
I.a.2. Eozinofiller	11
I.a.3. Bazofiller	11
II. Fagositoz	12
II.a. Kemotaksi	12
II.b. Aderens (Yapışma)	13
II.c. Mikroorganizmaların Yutulması ve Sindirim	14
II.d. Mikroorganizmaların Öldürülmesi	15
II.d.1. Oksijene Bağımlı Öldürme Mekanizması	15
II.d.2. Oksijene Bağımlı Olmayan Öldürme Mekanizması	16
III. Fagositozdan Kaçış Mekanizmaları	17
IV. Antimikrobiik İlaçların Fagosit-Mikroorganizma Etkileşimi Üzerine Etkileri	17
GEREÇ VE YÖNTEMLER	19
1. GEREÇLER	19
1.1. Mikroorganizma	19
1.2. Besiyerleri	19
1.3. Tamponlar	19
1.4. Çözeltiler	20
1.5. Boyalar	20
1.6. Antifungal İlaç	21
1.7. Mc Farland Tüpleri	21

1.8. Kimyasal Maddeler	21
1.9. Kullanılan Araç ve Aygıtlar	22
2. YÖNTEMLER	23
2.1. Antifungal Duyarlılık Deneyi	23
2.1.1. 0.165 M pH 7 MOPS Tamponu Hazırlanması	23
2.1.2. Flukonazol Çözeltisinin Hazırlanması	23
2.1.3. İnokulum Hazırlanması	24
2.1.4. Minimal İnhibitör Konsantrasyonu (MİK) Tayini	24
2.2. Flukonazol’ün Plazma Konsantrasyonunun Saptanması	25
2.3. Polimorf Nüveli Lökositlerin (PNL) Elde Edilmesi	25
2.4. Polimorf Nüveli Lökosit (PNL) Canlılık Deneyi	26
2.5. Flukonazol’ün Aderens Üzerine Etkisi	26
2.5.1. Lowry Yöntemi İle Protein Ölçümü	27
2.5.1.a. A Çözeltisi	27
2.5.1.b. B Çözeltisi	27
2.5.1.c. C Çözeltisi	27
2.5.1.d. Stok Bovin Serum Albumini (BSA)	27
2.5.1.e. Standart Protein Eğrisi	27
2.5.2. Aderens Deneyinin Yapılışı	28
2.6. Flukonazol’ün Kemotaksi Üzerine Etkisi	28
2.6.1. İnaktif Serum Hazırlanması	28
2.6.2. Zimozan Opsonizasyonu	29
2.6.3. Agaroz Jelin Hazırlanması	29
2.6.4. Kemotaksi Deneyinin Yapılışı	30
2.7. Flukonazol’ün Süperoksit Anyonu Oluşumu Üzerine Etkisi	30
2.8. Flukonazol’ün <i>Candida albicans</i> Blastokonidyasının PNL’ler İçinde Ölümüne Etkisi	31
2.8.1. <i>Candida albicans</i> Suşunun Hazırlanması	31
2.8.2. <i>Candida albicans</i>’ın Opsonizasyonu	31
2.8.3. <i>Candida albicans</i> Blastokonidyasının PNL’ler İçinde Ölümünün ölçülmesi	32

BULGULAR	33
TARTIŞMA	47
ÖZET	57
SUMMARY	59
KAYNAKLAR	61

GİRİŞ

Antimikrobik ilaçlarla fagositler arasındaki etkileşimi inceleyen klinik ve deneyel çalışmalar, antimikrobik ilaçların 1940'lı yılların başında tedavide kullanılmasıyla başlamıştır (84).

Mikroorganizmalara karşı vücut savunmasında en önemli olay fagositozdur. Metchnikoff 1905'te infeksiyon etkenlerine karşı savunmada fagositlerin önemini ilk kez göstermiştir (19).

Antimikrobik maddeler patojen mikroorganizmaların üremelerini engelleyerek ya da onları öldürerek etki gösterirler. Bunların kullanımına başlandıktan kısa bir süre sonra zararlı yan etkileri de olduğu anlaşılmıştır. 1950'li yıllarda ise antimikrobik maddelerin toksik ya da allerjik reaksiyonlar gibi istenmeyen etkilerinin yanısıra, organizmanın kendi savunma mekanizması olan bağıskılık sistemini de etkiledikleri fark edilmiştir (6,35,41).

Yüksek dozlarda antimikrobik madde kullanımı immün sistemin uyarılması için gerekli sürenin oluşumuna engel olmaktadır. Düşük dozda kullanımları ise dirençli suşlar oluşturarak ve mikroorganizmanın yapısında değişimler meydana getirerek immün sistemi yanıltmaktadır. Özellikle immün sistemi baskılanmış hastalarda gücsüz immün sistemin antifungal ilaç tarafından da etkilenmesi hastanın sağlığı açısından tehlikeli sonuçlar doğurabilir. Bu nedenle yeni antifungallerin tedavide uygulanmadan önce immün sistem üzerindeki etkilerinin araştırılması gündeme gelmiştir (6,41).

Son yıllarda immün sistemi baskılanmış hastalarda meydana gelen mantar infeksiyonlarının tedavisinde önemli gelişmeler kaydedilmiş ve yeni antifungaller kullanıma girmiştir (38).

Böyle hastalarda oluşan çeşitli mantar infeksiyonlarının tedavisinde polienlerin ve Siklosporin A almayan hastalarda ketokonazol'ün, özellikle son yıllarda sistemik mantar infeksiyonlarının tedavisinde flukonazol'ün sıkıkla kullanıldığı görülmektedir (38).

Fagositoz olayına antimikrobiklerin etkisini inceleyen çok sayıda çalışma yapılmış ise de sonuçlar oldukça çelişkilidir. Antimikrobikler ile konağın savunma mekanizmasının ilişkisini konu alan araştırmaların genel olarak in vitro koşullarda yapıldığı görülmektedir. *In vivo* insan deneylerine ise az rastlanmaktadır (48).

İmmün sistemi baskılanmış hastalarda görülen en önemli komplikasyon kandida infeksiyonudur. Bu durum göz önüne alınarak çalışmamızda, klinikten izole edilen flukonazol'e duyarlı *Candida albicans* suşuna karşı, sağlıklı gönüllülerde flukanazol'ün terapötik plazma konsantrasyonunda polimorf nüveli lökosit (PNL) fonksiyonları üzerine etkisi, fagositozun gerçekleşmesindeki ara kademeler olan aderens, kemotaksi; fagitozu izleyen süperoksit anyonu oluşumu ve *Candida albicans* blastokonidyasının PNL'ler içinde ölümü üzerine etkisi *in vivo* araştırılmış ve deney sonuçları in vitro bulgularla karşılaştırılmıştır.

GENEL BİLGİLER

CANDIDA ALBICANS HAKKINDA GENEL BİLGİLER

Hipokrat ve Galen döneminde oral lezyonlar *pamukçuk* olarak tanımlanmıştır. Daha sonra 1839'da Langenbeck, 1841'de Berg pamukçuk etyolojisini ilk kez ortaya koymuşlardır. Bu dönemlerde *Candida albicans* için 100'den fazla eş anlamlı ad kullanılmıştır. Robin 1843'te organizmaya *Oidium albicans*, 1890'da Zopf *Monilia albicans*, 1923'te Berghout ise *Candida albicans* adını vermiştir (26,27).

Candida albicans Deuteromycetes sınıfı Blastomycetes alt sınıfından tek hücreli ve blastosporların tomurcuklanması ile çoğalan bir mayadır (23,24).

Hastalıklı yerden alınan materyalde uçları az çok toparlak, tek tek duran ya da bir kaçı birbiri ardısına dizilerek oldukça uzun bir hif yapabilen, boyu 5-7 μm eni 2-5 μm olan söbemsi hücreler şeklindedir. Bunlar iki üç hücreli kısa zincirler ya da salkımlar yapabilir. bazlarında tomurcuk belirlidir. Bazen yalnız hifler ya da blastosporlar bulunur. Bu hücreler Gram pozitiftir. Bazen aside dirençli olarak da görülürler (26,81).

Candida albicans Sabouraud'nın dekstrozlu agarında iki üç günde stafilocok kolonisine benzeyen S biçimi, beyaz ya da krem renginde, tereyağı kıvamında üstü düz, parlak maya kokan koloniler oluşturur. Bunlardan hazırlanan preparasyonda çoğunlukla yalnız blastospor şekilleri görülür (26,81).

Mısır unlu-Tween 80'li agarda 26°C'de 72 saat içinde yalancı hifler, yalancı hiflerin boğumları çevresinde kümeler yapan yuvarlak blastosporlar ve yalancı hif uclarında kalın duvarlı, tek ya da bir kaç tane ve bu tür için tanı koydurucu olan klamidosporları oluştururlar (80).

Elektron mikroskopu çalışmaları ile *Candida albicans* hücre duvarının çok tabakalı olduğu saptanmıştır. Çeşitli teknikler kullanılarak yapılan çalışmalar sonucunda *Candida albicans*'ın hücre duvarının esas olarak mannoprotein, β -glukan ve az miktarda kitinden olduğu anlaşılmıştır (β -glukan % 48-60, mannoprotein % 20-23, protein % 3-6, lipid % 2, kitin % 0.6-2.7) (15,16,23,27).

Candida albicans dünyanın her yerinde bulunan bir maya mantarıdır. Normal populasyonun (% 20-40) ağız, deri ve mukozalarında, kadınların (% 5) vajinasında komensal organizmalar şeklinde bulunur (23,24).

Candida albicans çimlenme borusu ve klamidospor oluşturan, glikoz, galaktoz ve maltozu asimile eden bir türdür. Serum içinde asıntı yapıldıktan sonra 37°C'de üç saat tutulursa blastokonidilerden çimlenme borusu oluşturur. Bu özellikler *Candida albicans*'ın ayrimında önemlidir (66).

Candida albicans her zaman hastalığa yol açmayıp genellikle kişi direnci düşüğü zaman infeksiyon oluşturur. *Candida albicans*'ın neden olduğu her türlü infeksiyona *kandidamikoz* denir. Vücuttaki bütün dokularda infeksiyona neden olabilir. *Candida albicans* yüzeyel infeksiyonlara neden olduğu gibi ağır derin doku infeksiyonları da oluşturabilir. Yüzeyel kandida infeksiyonları özellikle ağız ve vajinada siktir ve bazı durumlarda tedaviye direnç gösterirler. Sistemik kandidiyaza ise daha az rastlanmakla beraber modern tıbbi girişimlerin (transplantasyon cerrahisi, damarıçi hiperalimentasyon, immün sistemi baskılıyıcı tedavi gibi) artması ile sikliği ve önemi artmıştır (6,23,24,66).

Yapılan bir çalışmada *Candida albicans*'ın tek başına ya da diğer patojenlerle birlikte, karsinoma olgularındaki oral infeksiyonların yaklaşık dörtte

üçünden, sarkoma ya da lenfoma olgularındaki oral hastalıkların yaklaşık yarısından sorumlu olduğu görülmüştür (6).

Candida albicans'ın patogenezinde rol oynayan patojenik faktörler arasında epitel hücrelerine bağlanmayı, fagosoza direnci, hif oluşumunu, proteinaz ve fosfolipaz gibi hücre dışı enzimlerin salgılanmasını sayabiliriz (8,25). Proteinaz enziminin *Candida* hücrelerini, konak savunma sistemine karşı koruduğu kadar, konak dokusunada zarar verici bir rol oynadığı sanılmaktadır. Proteinaz enzimi insan PNL'leri tarafından hücre içi öldürme ve fagosoza karşı *Candida albicans*'ın direncini artırmaktadır. Buna karşın *Candida albicans*'ın hücre içi öldürülmesinden sorumlu en büyük mekanizma miyeloperoksidaz, hidrojen peroksit (H_2O_2) ve süperoksit anyon (O_2^-) sistemidir. *Candida albicans*'a karşı savunmada humoral faktörlerin önemi de çok sayıda gözlemlerle kanıtlanmıştır (43).

Candida albicans'ın nötrofiller tarafından alınım hız oranı ısıya duyarlı ve ısıya dirençli serum opsoninleriyle artırılır. IgG ve diğer serum bileşikleri *Candida albicans*'ı etkili bir şekilde opsonize ederler ve yaygın kandidiyazlı hastalar ekseriya yüksek titrede antikor yanıt verirler (26).

Nötrofiller, yalancı hiflere zarar vermek, fagosite etmek ve blastosporları öldürme kapasiteleri nedeni ile kandida infeksiyonuna karşı dirençte rol oynarlar. Nötrofillerden başka monositler ve eozinofiller de bu savunmada rol alırlar. Monositlerin *in vitro* öldürülüğü PNL'lerden daha etkilidir (26).

Son yıllarda kandidanın oral ve vajinal epitel hücrelerine, fibronektin, trombosit fibrin pihtlarına, akrilik, endotelyum, ve plastiklere aderens (yapışma) yeteneğinin olduğu gösterilmiştir (26).

Candida albicans infeksiyonlarının tedavisinde vücutun direncini kıran faktörlere göre önlemler alınmaktadır. Bunun yanısıra kullanılması düşünülen ilaçların etki ve direnç mekanizmalarının *in vitro* ve *in vivo* sonuçları da değişkenlik göstermektedir. Bu nedenle profilaksi ve ampirik tedavide dikkatle kullanılması

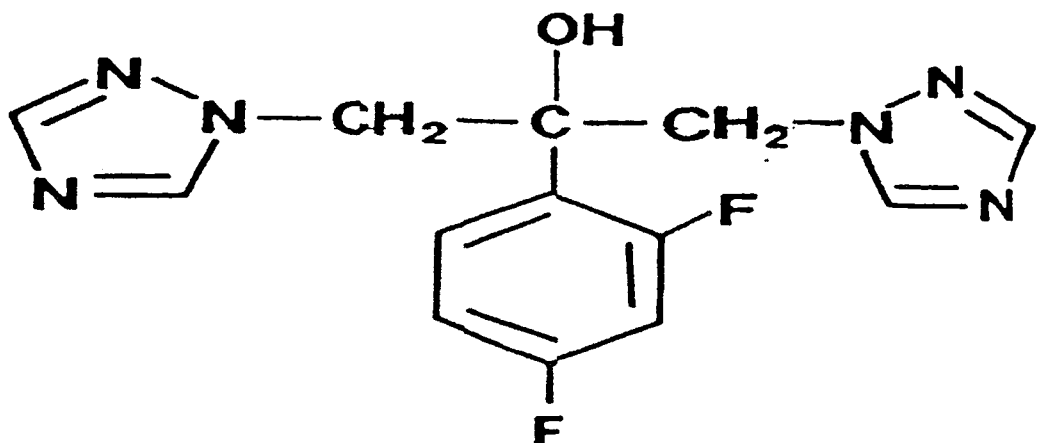
önemlidir. Profilaksi, immün sistemi baskılanmış hastalarda özellikle kandidaların endojen kaynaklı infeksiyonlara yol açmalarını önlemek ve infeksiyondan korumak için gereklidir. Bugün klinik çalışmalarda özellikle kemik iliği transplantasyonunda profilaksi için pek çok antifungal ilaç önerilmekte ve kullanılmaktadır. Antifungal ilaçlar tedavide çeşitli yönleri ile değerlendirildiğinde triazol türevlerinin deneysel ve klinik çalışmalarda sıkılıkla kullanılmakta olduğu görülmektedir (51,81).

FLUKONAZOL HAKKINDA GENEL BİLGİLER

Mantarlar hastalık etkeni olarak bakterilerden önce tanımlanmıştır. Özellikle fırsatçı infeksiyonlarda mantarların birer infeksiyon etkeni olarak taşıdıkları önem, son yıllarda büyük ölçüde artmıştır. Farmasötik endüstrinin yoğun çalışmaları sonucunda birçok antifungal etkili madde mantar infeksiyonlarının tedavisinde kullanılmak üzere formüle edilmiş ve antifungal kemoterapiye başlanmıştır. Ancak antibakteriyel ilaçlarla karşılaşıldığında, antifungal kemoterapi çok yavaş gelişmiştir (38).

Antifungaller arasında Azol grubu ilaçlar 1969'a kadar klinik kullanımına girememiştir. Wolley (1944), bir azol bileşiği olan benzimidazol'ün antifungal aktivitesini göstermiştir (38). O yıllarda bu çalışma mikotik hastalıklar çok az ilgi gördüğünden önemli bulunmamıştır. Otuz yıl sonra Vanden Bossche'un feniletil imidazol'ün antifungal etkisini kandidalarda saptamasıyla azol bileşiklerinin antifungal aktivitelerine ilgi artmaya başlamıştır (38).

Son otuz yıl içinde sentez edilen üç imidazol'den klotrimazol, mikonazol ve ekonazol mantar infeksiyonlarında kullanılmaktadır. Daha sonra ketokonazol ile antifungal kemoterapide büyük ilerlemeler kaydedilmiştir. Bugün ise yeni triazol türevlerinden flukonazol ve itrakonazol'ün klinikte daha az toksik ve daha etkili olmaları nedeni ile tedavide başarılı sonuçlar alınmıştır (36,38).



Şekil 1: Flukonazol'ün kimyasal formülü

Flukonazol var olan bileşiklerin moleküllerinde değişiklik yaparak daha iyi bir sistemik antifungal ilaç elde etmeyi hedef alan araştırmaların sonucunda bulunmuştur.

Açık formülü [2-(2,4-difluorofenil)-1,3-bis(1H-1,2,4-triazol-1-yl) propan-2-ol] olan flukonazol'ün molekül ağırlığı 306.3'tür.

Flukonazol molekülü planlanırken imidazol grubunun yerine bir triazol grubu kullanılması ilacın mantarlardaki demetilaz enzimine karşı olan özgüllüğünü artırmıştır. İkinci bir triazol grubunun eklenmesi ise antifungal aktivitenin daha fazla artmasını sağlamıştır (7,63).

Flukonazol antifungal aktivitesini, sitokrom p-450 aracılığı ile iş gören bir enzim olan lanosterol C-14 demetilaz'ın selektif inhibisyonu ile gösterir. Bu inhibisyon mantar hücre duvarının önemli bir yapıtaşısı olan ergosterol'ün sentez edilememesine neden olur. Sitoplazma zarında ergosterol biyosentezinin inhibisyonu ve lanosterol ya da diğer sterol ara maddelerinin birikmesi sonucunda, mantar plazma zarının geçirgenlik ve transport işlevi değişmektedir. Metabolik dengenin

bozulması hücre çoğalmasının inhibisyonuna neden olmakta ve sonuçta hücreyi ölüme götürmektedir (34,38,55,70).

Flukonazol'ün antifungal aktivitesi fungustatiktir. Bu aktivite ilacın düşük konsantrasyonları ile meydana gelir. Daha ağır seyreden sistemik infeksiyonlarda uzun süreli tedavi gerektir. Mantar infeksiyonunu ortadan kaldırmak için konakçının immün yanıtının da yardımı gereklidir (38).

Flukonazol çok iyi farmakokinetik yapıya sahiptir. Oral yoldan alındığında hızla, değişime uğramadan emilerek tüm vücuda dağılır. İlacın aç ya da tok karnına alınması emilimini etkilemez (79). Tek doz verilişinden sonra Beyin Omurilik Sıvısı (BOS)'na ve seruma geçişinin yüksek düzeyde olduğu farmakokinetik çalışmalarla gösterilmiştir (38).

Flukonazol plazma proteinlerine fazla miktarda bağlanmaz ve bu nedenle dokulara daha yüksek oranda geçer (36,79).

Flukonazol'ün yarılanma ömrü yaklaşık 30 saatdir. Bu özelliğinden dolayı ilaç günde bir tek doz ile profilaksi ve fırsatçı mantar infeksiyonlarının tedavisinde başarı sağlamaktadır (76,79).

Molekül ağırlığının küçük oluşu ve plazma proteinlerine az bağlanması suda çözünürlüğü, oral ve intravenöz yol ile verilişini kolaylaştırmaktadır (38,76).

Oral yoldan etkili olan flukonazol'ün sistemik biyoyararlığı yüksektir (38).

Kanserli hastalarda, yoğun bakım ünitelerinde yatan, sitotoksik ya da immün sistemi baskılamacı tedavi gören, organ nakli yapılmış ya da fırsatçı mantar infeksiyonlarına zemin hazırlayan diğer faktörlerin bulunduğu hastalarda tedavi ve profilaksi de kullanılmaktadır (42).

İmmün sistemi baskı altında olan hastalarda oluşan orofarenks, özofagus kandidiyazında, mükokütan ve kronik atrofik oral kandidiyazda, ayrıca yaygın kandida infeksiyonlarının neden olduğu sistemik kandidiyazda etkilidir (42,52).

Flukonazol ile AIDS'lı ve Hodgkin lenfomali hastalarda oluşan kryptokok menenjitinde de çok başarılı klinik sonuçlar alınmıştır (13,14,31,38,44,75).

Deneysel ve klinik çalışmalar flukonazol'ün çok iyi tolere edildiğini ve toksik etkisinin olmadığını göstermektedir. Merkezi sinir sistemi üzerine yan etkileri ya da başka olumsuz etkileri bildirilmemiştir (38).

FAGOSİTOZ HAKKINDA GENEL BİLGİLER

I. FAGOSİTİK HÜCRELER

Fagositik hücreler temel olarak; nötrofiller, monosit-makrofaj sistemi hücreleri ve eozinfillerdir (91). Miyeloid hücre yönünde gelişme gösteren bu hücreler kemik iliğinin *kök* (stem) *hücre* adı verilen ve farklı yönde gelişme yeteneği gösteren hücrelerinden oluşur (33,69). Granülosit adı altında nötrofiller (polimorf nüveli lökositler), eozinfiller ve bazofiller tanımlanmaktadır (91).

I.a. Polimorf Nüveli Lökositler (PNL) :

Kan dolaşımındaki lökositlerin % 60-70'ini PNL'ler oluşturur. Kemik iliğinde oluşan bu hücreler, çekirdeklerinin çok loblu olmaları nedeniyle bu adı almışlardır. Ayrıca sitoplasmalarındaki bol granüller nedeni ile de *granülosit* adı verilmiştir. Sitoplazmadaki granüllerin histolojik boyalarla farklı boyanmaları nedeni ile nötrofil, eozinofil ve bazofil adını alırlar (33,69). Dolaşımındaki yaşam süreleri çok kısa olup 2-3 gündür (91). Kemik iliğinde çok hızlı oluşurlar (Dakikada 80 milyon) (69).

L.a.1. Nötrofiller :

Dolaşımındaki PNL'lerin % 90'ını oluşturur ve 10-20 μm çapında büyük hücrelerdir. Nukleusları dar kromatin iplikçikleri ile bağlanmış olup 3-5 loba sahiptir. Periferik kanda yarı ömrü yaklaşık 6-20 saatir. Dokularda hayatı kalması uygun şartlarda 4-5 gündür (1).

Morfolojik olarak tanınableen ilk nötrofil öncü hücresi miyeloblasttır. Bu hücrenin bölünme ve farklılaşması sonucu promiyelositler gelişir. Azurofilik granüllerin sentezi bu aşamada başlar. Promiyelositten miyelositler gelişir. Bu hücrelerde spesifik granüllerin sentezi başlar. Bu aşamaya kadar olan devre çoğalma evresini oluşturur ve 5-7 gün sürer. Bu evreyi izleyerek olgunlaşma evresi başlar ve miyelositten metamiyelosit-bant ve olgun nötrofil gelişir (91).

Nötrofiller iki türlü granüle sahiptir. Primer granüller, azurofilik boyanırlar ve lizozimler (asit hidrolaz, miyeloperoksidaz ve muramidaz), kuvvetli antibakteriyel ve antifungal etkileri olan katyonik proteinler içerirler (91). Sekonder granüller ise; lizozime ek olarak laktoferrin içerirler. Mikroorganizmayı içeren vakuole *fagozom*, granüllerin boşalığı fagozomlara da *fagolizozom* adı verilir (33,69).

Nötrofillerin yüzeyinde komplemanın C3 komponenti ve IgG'nin Fc parçası ile birleşebilen reseptörler bulunmaktadır (1).

Nötrofillerin vücuttaki asıl görevleri organizmaya giren mikroorganizmaları fagosite etmek, öldürmek ve ortadan kaldırmaktır (1). Nötrofiller kendini çekeni, kemotaksi yapan maddelere karşı hareketlerini o yöne doğru yönlendirirler (33,69). İltihap sahasında lokalize olan nötrofiller uygun şekilde opsonize edilmiş maddelere bağlanıp onları sindirir. Fagositozu takiben morfolojik ve biyokimyasal olaylarda birbirini takip eder. Fosfolipid metabolizmasında artma, heksoz monofosfat yolunun belirgin stimülasyonu ve hidrojen peroksit oluşumu fagositozun en önemli biyokimyasal sonuçlarını içerir (1).

I.a.2. Eozinofiller :

Periferik kan lökositlerinin % 2-5'ini oluşturan eozinofiller yaklaşık 12 μm çapında yuvarlak hücrelerdir. Allerjik kişilerde bu oran çoğalır (1).

Eozinofiller kana geçmeden 3 ile 6 saat kadar önce kemik iliğinde olgunlaşır. Yarı ömrü kanda 30-60 dakika, dokuda ise 10-12 gün kadardır (1).

Granüllerin ortası kristalimsi görünümündedir. Granüllerin içerisinde fazla miktarda hidrolitik enzimler bulunduğu halde mikrobisidal özellikteki yapılar daha az görülür. Bu nedenle eozinofillerin fagositoz yetenekleri nötrofillere nazaran daha azdır (33).

Eozinofiller lezyon alanına T hüresi, mast hüresi ve bazofillerden salgılanan maddelerle yönlendirilir. Eozinofil kemotaktik faktör (ECF-A), anafilakside bazofillerden salgılanır. Eozinofillerin degranülasyonunda açığa çıkan histaminaz ve aril sülfataz, anafilaksi olayında mast hücrelerinden açığa çıkan histamin ve anafilakside yavaş etkileyen madde (SRS-A)'yı parçalarlar ve iltihap reaksiyonunun baskılanmasına yol açarlar (1,33,69).

Eozinofiller antijen-antikor komplekslerini de fagosite etme özelliğine sahiptir (1).

I.a.3. Bazofiller :

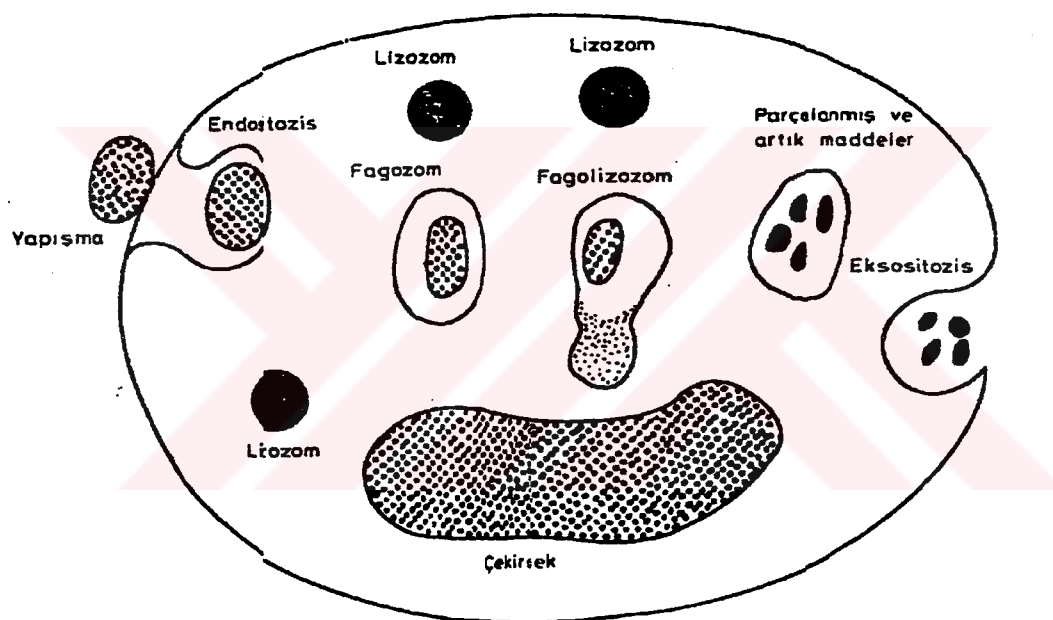
Periferik kanda bulunan lökositlerin % 0.2'den azını oluşturan oval ve elektron yoğun büyük granüllere sahip hücrelerdir. Bu granüller koyu menekşe renginde boyanırlar. 8-12 μm büyülüklüğündedirler. Nukleusları iki loblu olup kromatince fakirdirler (1,91).

Bazofiller kemik iliği kökenlidir. Granüllerinde heparin, SRS-A, ECF-A, bulunmaktadır. Bu maddeler degranüle olduklarında hücre dışına dökülürler. Bu maddeler allerjik reaksiyonları oluşturmalarının yanısıra, eozinofillerde olduğu gibi parazitlere karşı bağışıklıkta rol oynarlar (33,69).

II. FAGOSİTOZ

Fagositoz, mikroorganizmalar dahil olmak üzere yabancı maddelerin, bu işle görevli fagositler tarafından hücre içine alınarak parçalanması ve sindirilmesi olayıdır. Bu olay, infeksiyonlara karşı konağın savunmasında önemli yer tutar (40).

Fagositoz olayı kemotaksi, aderens (yapışma), mikroorganizmaların yutulması ve sindirimi, mikroorganizmaların ölmesi evrelerini içerir (33,69) (Şekil 2).



Şekil 2: Fagositoz olayının evreleri.

II.a. Kemotaksi :

Fagositik hücrelerin mikroorganizmaya doğru hareket etmesine *kemotaksi* denir. Fagositik hücrelerin infeksiyon yerine doğru çekimi farklı birçok mekanizma ile olmaktadır (33,40).

Kemotaksi enerjiye bağımlı bir olaydır. Nötrofillerin kemotaksisinde en büyük enerji kaynağı anaerobik glikolizdir (40).

Mikroorganizmaların dokulara girdikleri yerlerde üremeleri ve salgularıyla doku zararları meydana gelir. Gerek oluşan doku zararları, gerekse mikroorganizma hücre duvarları, komplemanı alternatif yoldan aktive ederler. Kompleman aktivasyonunda açığa çıkan C3a ve C5a moleküllerinin kuvvetli kemotaktik etkileri vardır. Bu moleküllerin etkisiyle damar içi nötrofilleri kapiller endotelyuma yapışır ve diyapedez ile kapiller duvarını geçerek, C3a ve C5a moleküllerinin en yoğun olduğu yere doğru göç ederler. Lökositler, uyarılmadan 30 saniye sonra kasılma ve gevşeme hareketleriyle göçe başlarlar. Lökositlerin kapiller endotellerine yapışmasında adezyon molekülleri rol oynar. Lökosit yüzeyinde var olan adezyon moleküllerinden bazıları şunlardır: Lökosit fonksiyon antijeni-1 (LFA-1), kompleman reseptör-3 (CD11b) ve p150, 95 (CD11c) dir (33,69).

Divalan katyonlarının varlığı fagositik aktiviteyi değiştirir (1). Fagositik hücre zarı üzerinde bulunan ve zar üzerindeki hareketliliğini sağlayan Ca^{+2} ve Mg^{+2} iyonlarının bazı ilaçlar tarafından bağlanması sonucunda bu iyonların serbest hareketi önlenmiş olur (84).

II.b. Aderens (Yapışma) :

İki hücre arasında yakın temasın kurulması; hücre yüzeylerinin gerilimi, yüzeyler arası serbest enerji, hücrelerin şekli ve yüzey viskozitesi gibi iki hücrenin yüzey özelliklerine bağlıdır (1). Bu temas ve yapışma daha sıkı ve güçlü olarak, antikorlar aracılığı ile sağlanabilir. Mikroorganizmaların fagositlere bağlanması sağlayarak fagositozu kolaylaştırın fibronektin, kompleman gibi doğal maddeler ile, spesifik antikorlara *opsonin* ve bu olaya da *opsonizasyon* denir. Opsonizasyon fagositoya hazırlama oyununu ifade etmektedir (40).

Opsonize edilen mikroorganizmalar fagositlere daha kolay bağlanmakla kalmaz, ayrıca daha etkili olarak öldürülür ve sindirilirler. Fagositik hücre ile bir

antijen-antikor kompleksinin Fc parçasının, hatta C3b molekülünün ilişkisi, lökositlerin yüzeyinde bulunan Fc ve C3b reseptörleri aracılığı ile olmaktadır (40).

Yapışmada fagositik hücrelerin şekli de çok önemlidir. Hücrenin 500 °A'dan daha küçük çapta çıktılar oluşturma yeteneği, negatif yüzey potansiyelinin uzaklaştırıcı kuvvetlerini ortadan kaldırmasını olanak kılar. İnce, parmak gibi çıktılar oluşturamayan hücrelerin fagosite etme yetenekleride belirgin şekilde düşüktür. Hücrenin şekli çevreye ve hücre zarının viskositesi gibi intrinsik faktörlerde bağlıdır (1).

II.c. Mikroorganizmaların Yutulması ve Sindirim :

Nötrofil ve makrofajlar mikroorganizmalar ile uygun şekilde temasa geldiklerinde fagositoz başlar. Fagositik hücreler partikülün çevresinde yalancı ayak çıkararak partikülü sarar. Partikülün kuşatılması için muhtemelen kontraktıl proteinlerin (aktin ve miyozin) ve adenozin trifosfat (ATP)'dan enerjinin sağlanması, hatta mikroorganizma ve hücre zarının yakın birleşmesi ve yapışkan bir yüzey gereklidir (1,69).

Yalancı ayaklar tarafından kuşatılan mikroorganizma fagositik bir kese ya da vakuol içine alınır. Bu vakuol hücre zarından ayrılarak içeri doğru hareket eder. Hücre zarından ayrılmış olan sitoplazma içerisindeki bu vakuole *fagozom* adı verilir. Böylece fagozom içerisindeki mikroorganizmanın sitoplazma ile direkt olarak teması önlenmiş olur. Daha sonra bu fagozom oluşumundan hemen bir dakika içinde sitoplazmada bulunan lizozom bir fagozom ile temasa gelerek fagozomun zarı ile birleşir ve lizozomun içerisinde bulunan çeşitli hidrolitik enzimler fagozomun içerisine boşalır (1,69).

Lizozomun pH (3.5-4)'ı düşüktür. Bu düşük pH fagozomlar tarafından yutulan mikroorganizma ve partiküler için uygun değildir ve onları öldürebilir (1).

II.d. Mikroorganizmaların Öldürülmesi :

Fagolizozom içinde mikroorganizmaların öldürülme olayında iki türlü mekanizma rol oynar (1).

1-Oksijene bağımlı öldürme mekanizması

2-Oksijene bağımlı olmayan öldürme mekanizması

II.d.1. Oksijene Bağımlı Öldürme Mekanizması :

Bu mekanizma için lizozom graniüllerinin füzyonuna gereksinim yoktur. Fagozomun oluşmasıyla nötrofil zarındaki oksidaz enzimleri; indirgenmiş nikotinamid adenin dinükleotid (NADPH-NADH) ya da sitokrom b 558 aktive olur ve plazma zarına bağlı oksijen molekülü indirgenerek süperoksit anyon (O_2^-), hidrojen peroksit (H_2O_2), tekli oksijen (1O_2) ve hidroksil (OH) kökleri oluşur. Bütün bunlar kuvvetli mikrop öldürücü maddelerdir. Daha sonra lizozom graniüllerinin fagozoma açılmasıyla içeriye miyeloperoksidaz girer. Halojen moleküllerin varlığı ile hipoklor (ClO^-) denen toksik maddeler oluşur (33,69).

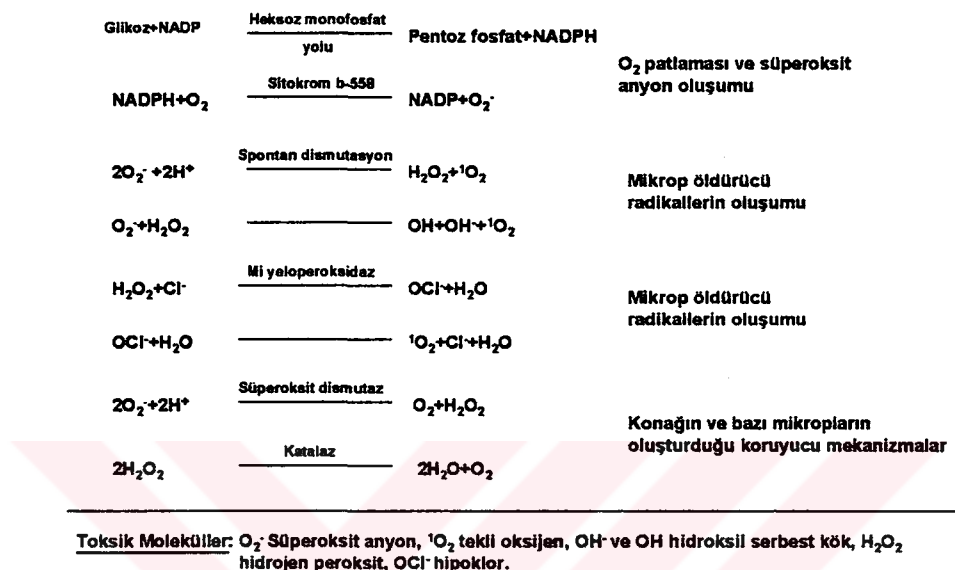
Fagosit edilmiş mikroorganizmaların fagozomlar içinde öldürülme işi esas olarak, süperoksit-miyeloperoksidaz sisteminin birlikte çalışması ile berhasilır (40).

Fagositoz olayının başlamasıyla heksoz monofosfat yolu aktivitesi, oksijen kullanımı, süperoksit anyon (O_2^-) ve H_2O_2 yapımı artar. Bu oksijen kullanımının artması olayına *solunum patlaması* (respiratory burst) denir. Bu zorlu ve adeta patlayıcı özellikteki metabolik değişme NADPH oksidaz denen ve fagositlerde uyur durumda bulunan bir enzimin aktivasyonu ile başlar (33,40,69).

Granülositlerde süperoksit anyon (O_2^-) oluşumu birçok mikroorganizma için öldürücüdür. Oksijene bağımlı H_2O_2 oluşumu ve oksitlenebilen iyot, brom ve klor gibi halojenlerin bulunması ile toksik maddeler oluşur. Bunlara ek olarak asit pH'da mikrop öldürücü etki yapar.

Özetle; miyeloperoksidaz, H_2O_2 , halojenler ve asit pH antibakteriyel, antiviral, antifungal ve antimikoplazmal etki gösterirler (33,69).

Oksijene bağımlı öldürme mekanizması kimyasal denklemler ile aşağıda görüldüğü gibidir (33,91).



II.d.2. Oksijene Bağımlı Olmayan Öldürme Mekanizması:

Oksijene bağımlı olmayan öldürme mekanizması aşağıda açıklandığı gibidir.

1-Katyonik proteinler (fagositin, lökin); PNL'lerin azurofil granüllerinde bulunur. Nötral pH'da etkilidir.

2-Laktoferrin; PNL tarafından hücre dışına atılır.

3-Lizozim, askorbik asit ve H_2O_2

4-Asit pH oluşumu

5-Nükleer histonlar, proteazlar, katepsin, serum esteraz, elastaz gibi enzimler oksijene bağımlı olmayan mekanizma ile etki yaparlar.

Öldürülen mikroorganizmalar, lizozomal granüllerdeki litik enzimler ile (asit hidrolazlar) parçalanıp dağıtırlar. Geriye kalan artıklar *ekzositoz* denen bir olayla hücre dışına atılabilirler (33,40,69).

III. FAGOSİTOZDAN KAÇIŞ MEKANİZMALARI

Fagositoz birçok mikroorganizmanın öldürülmesinde etkili bir mekanizmadır. Fakat bazı mikroorganizmalarda fagositozun bu öldürücü etkisinden kaçış mekanizmaları gelişmiştir (33,69).

Mikroorganizmalar fagositlerin kemik iliğinde yapımlarını baskılıayarak, inflamasyonu, kemotaksiyi, endositozu zayıflatarak, lizozomal füzyonu engelleyerek ve fagositler içinde üremeyi başararak fagositoya karşı kendilerini değişik yollardan koruyabilirler (40).

IV. ANTİMİKROBİK İLAÇLARIN FAGOSİT-MİKROORGANİZMA ETKILEŞİMİ ÜZERİNE ETKİLERİ

Antimikrobik ilaçlar immün sistem üzerine bir dizi etkiye sahiptirler. Bu etki, ya direkt olarak immün sistemi oluşturan hücrelerin antimikrobiklerden etkilenmesi şeklinde ya da antimikrobik ilaçların mikroorganizmada yapısal ya da işlevsel değişimlere yol açarak indirekt yoldan immün sistem fonksyonlarını etkilemesi sonucu ortaya çıkmaktadır (6).

Fagosit-Mikroorganizma etkileşimi, antimikrobik ilaçların fagositler üzerine olan etkisinden dolayıdır. Burada esas, antimikrobik ilacın mikroorganizmalar üzerine olan herhangi bir etkisini fagositler üzerine olan etkisinden ayırdetmektedir (84).

Antimikrobik ilaçlar, fagositler ya da mikroorganizmalar üzerine bir etki gösterirler. Bu etki kemotaksi ile karıştırılabilir. Mikroorganizmaların bazı salgıları (endotoksin, protein A, glikolipidler) kemotaktik özellikte olup kemotaksiyi etkilerler. Fagosit ve mikroorganizma, kemotaksi ile bir araya geldikten sonra bu

birleşme nedeniyle antimikrobik ilaçların aktiviteleri üzerinde fagositoz gerçekleşmese bile farklılaşmaya neden olabilir (84).

Fagositik hücrelerde bulunan bazı enzimlerde (lizozim, katyonik proteinler, laktoferrin ve küçük peptidler) fagositoz esnasında mikroorganizma üzerine etki gösterirler (84).

GEREÇ VE YÖNTEMLER

1. GEREÇLER :

1.1. Mikroorganizma :

Bu çalışmada Marmara Üniversitesi Tıp Fakültesi Mikrobiyoloji laboratuvara gelen, çocuk servisinde yatan ve beslenme sıvısı alan bir bebekte gelişen sepsis sonrası alınan kan kültürü örneğinden izole edilen *Candida albicans* (4826) suşu kullanılmıştır.

1. 2. Besiyerleri :

Katı besiyeri : Sabouraud Dekstroz Agar (SDA) (Difco)

Sıvı besiyeri : Sabouraud Dekstroz Broth (SDB) (Difco)

Yeast Nitrogen Base (YNB) (Difco)

Buffered Yeast Nitrogen Base (BYNB)

1.3. Tamponlar :

0.1 M PBS (Fosfat tamponlu tuzlu su) (pH: 7.2)

NaCl	8	g
KCl	0.2	g
Na ₂ HPO ₄	1.15	g
KH ₂ PO ₄	0.4	g
Distile Su	1000	ml

HBSS (Hanks'ın dengeli tuz çözeltisi) (pH:7.4)

NaCl	8	g
KCl	0.4	g
Na ₂ HPO ₄	0.048	g
KH ₂ PO ₄	0.06	g
MgSO ₄ ·7H ₂ O	0.1	g
Glikoz	1	g
NaHCO ₃	0.35	g
Fenol Kırmızısı	17	mg
Distile Su	1000	ml

Ca⁺² içeren HBSS tamponu hazırlamak için HBSS stok tamponuna 0.14 g/l CaCl₂ eklenmiştir (4).

0.165 M MOPS (Morfolinpropan sülfonik asit) Tamponu (pH :7).

MOPS	3.453	g
Distile su	1000	ml

1. 4. Çözeltiler :

2 N NaOH

10 N NaOH

1.5 mg/ml EDTA

% 0.9 NaCl

% 1 BaCl₂·2H₂O

% 1 H₂SO₄

%2 Na₂CO₃

% 1 CuSO₄·5H₂O

% 2 NaKC₄H₄O₆

1. 5. Boyalar :

Giemsa boyası

Tripan mavisi boyası

1. 6. Antifungal İlaç :

Potensi 1000 $\mu\text{g}/\text{mg}$ olan Flukonazol saf ilaç ham maddesi Pfizer İlaçları A.Ş. tarafından sağlanmıştır.

1. 7. Mc Farland Tüpleri :

Standart bulanıklık elde etmek için laboratuvara hazırladığımız Mc Farland 0.5 standart tüpü esas alınmıştır. 0.5 ml %1 BaCl_2 'e 99.5 ml %1 H_2SO_4 ilave edilerek hazırlanmıştır (56).

1.8. Kimyasal Maddeler :

EDTA (Sigma)

$\text{BaCl}_2 \cdot 2\text{H}_2\text{O}$ (Merck)

$\text{CaCl}_2 \cdot 2\text{H}_2\text{O}$ (Merck)

MgCl_2 (Merck)

NaCl_2 (Merck)

KCl (Merck)

Na_2HPO_4 (Merck)

KH_2PO_4 (Merck)

K_2HPO_4 (Merck)

$\text{MgSO}_4 \cdot 7\text{H}_2\text{O}$ (Merck)

$\text{CuSO}_4 \cdot 5\text{H}_2\text{O}$ (Merck)

Na_2CO_3 (Merck)

NaHCO_3 (Merck)

$\text{NaKC}_4\text{H}_4\text{O}_6$ (Merck)

NaOH (Merck)

H_2SO_4 (Merck)

Glikoz (Merck)

Folin ciocalteu's fenol reaktifi (Merck)

Zymosan A (Sigma)
Süperoksit dismutaz (Sigma)
Ferrisitokrom C (Sigma)
Agaroz (Merck)
Asparagin (Difco)
MOPS (Sigma)
DMSO (Merck)
Metanol (Merck)
Giemsa (Merck)
Tripan mavisi (Merck)
Fenol kırmızısı (sigma)
Sıvı silikon (Sigma)
BSA (Sigma)
Ficoll-Hypaque (Sebak)
Polymorphoprep (Nycomed)

1.9. Kullanılan Araç ve Aygıtlar :

Hassas Terazi (0.0001 g Bosch)
Kaba Terazi (0.1 g Mettler)
Etüv (B 5042 Heraeus)
Etüv (EN 500 Nüve)
Pastör Fırını (Elektro-mag)
Otoklav (Kermanlar)
Santrifüj (NF 815 Nüve)
Vorteks (Kermanlar)
Su Banyosu (SB 100 Nüve)
Spektrofotometre (Shimadzu UV-120-02)
Mikroskop (Olympus BH)
Buzdolabı (Arçelik 475 T)
Derin Dondurucu (Bosch)
Otomatik Pipetler 5-50 µl, 50-200 µl (Scorex)
Cam Pipetler 0.5, 1, 2, 5, 10 ml (Prescicolor)

Pastör Pipeti
Thoma Lami
Enjektör 2.5, 10, 20 ml (Becton Dickinson)
Steril Membran Filtre 0.22- 0.45 μm (Milipore)
pH İndikatörü (0-14) (Merck)
Silikon Kaplı Deney Tüpleri (Becton Dickinson)
Petri Kutuları (Anumbra)
U Tabanlı Mikrotitrasyon Plakları (Nunc)
Spektrofotometre Küvetleri

2.YÖNTEMLER

2.1. Antifungal Duyarlılık Deneyi :

Candida albicans suşunun duyarlılık deneyinde, minimal inhibitör konsantrasyonu (MİK) tayini için tüpte sulandırma yöntemi kullanılmıştır. Muayene materyalinden ayırımı ve tanımı yapılan *Candida albicans* suşunun flukonazol'e karşı duyarlılığı, Yeast Nitrogen Base (YNB) içerisinde % 1 glikoz, % 0.15 asparagin ilavesi ile hazırlanmış Buffered Yeast Nitrogen Base (BYNB) besiyerinde yapılmıştır. BYNB'nin pH'ı 0.165 molar Morfolinpropan sülfonik asit (MOPS) tamponu ile 7'ye ayarlanmıştır (3,53,67,73,77).

2.1.1. 0.165 M pH 7 MOPS Tamponu Hazırlanması :

3.453 g MOPS tartılmış 100 ml distile suda çözülmüş ve 10 N NaOH ile pH 7'ye ayarlanmıştır. 0.22 μm por çaplı membran filtrede geçirilerek sterilize edilmiştir (3,73).

2.1.2. Flukonazol Stok Çözeltisinin Hazırlanması :

Aktivitesi % 100 olan flukonazol ham maddesi kullanılmıştır. 10.000 $\mu\text{g}/\text{ml}$ lik stok çözelti aşağıdaki formüle göre miktarı tartılarak 5 ml dimetil sülfoksit

(DMSO) içinde çözülerek hazırlanmıştır. Stok filtreden geçirilerek sterilize edilmiştir (3,53).

$$\text{İlaç ağırlığı (mg)} = \frac{\text{İstenen konsantrasyon } (\mu\text{g/ml}) \times \text{çözücü hacmi (ml)}}{\text{İlacın potensi } (\mu\text{g/ml})}$$

2.1.3. İnokulum Hazırlanması :

Candida albicans suşu üst üste iki kez SDA'a pasaj yapılmış ve 37°C'de 24 saat inkübe edilmiştir. 24 saatlik son pasajdan çapı ≥ 1 mm olan 5 maya kolonisi toplanarak 5 ml steril fizyolojik tuzlu suda süspansiyonu hazırlanmıştır. Süspansiyon 15 saniye vortekste karıştırıldıktan sonra 530 nm'de Mc Farland 0.5 standart tüpünün verdiği absorbans değerine (0.5×10^8 kob/ml) ayarlanmıştır. Maya süspansiyonu BYNB besiyerinde 1/100 ve 1/20 sulandılarak $0.5-2.5 \times 10^3$ koloni oluşturan birim/ml (kob/ml) olacak şekilde hazırlanmıştır (3,53,73).

2.1.4. Minimal İnhibitör Konsantrasyon (MİK) Tayini :

Flukonazol'ün stok çözeltisinin (10.000 $\mu\text{g/ml}$) BYNB besiyerinde 1000 - 0.2 $\mu\text{g/ml}$ olacak şekilde 13 tüpte seri sulandırımları hazırlanmıştır. Her bir sulandırımdan 0.1 ml tüplere konulmuştur. 14. tüpe % 10'luk DMSO içeren BYNB besiyerinden 0.1 ml, 15. tüpe ise sadece 0.1 ml BYNB besiyeri konularak kontrol tüpleri hazırlanmıştır. Böylece hazırlanan 15 tüpün hepsine $0.9 \text{ ml } 0.5-2.5 \times 10^3$ kob/ml'ye ayarlanmış maya süspansiyonu eklenmiştir. Tüm tüpler 37°C'de 48 saat inkübe edilmiştir. İnkübasyon süresi sonunda, inokulum kontrol tüpü 1/5 oranında sulandırılmış ve bunun spektrofotometrede 530 nm dalga boyunda verdiği absorbans değerinden daha düşük absorbans veren deney tüpündeki flukonazol konsantrasyonu MİK olarak değerlendirilmiştir (61,73).

2.2. Flukonazol'un Plazma Konsantrasyonunun Saptanması :

Doz öncesi ve flukonazol (300 mg/oral) verilen gönüllülerden iki saat sonra alınan kandan steril koşullarda ayrılan plazma örneklerinin BYNB besiyeri içinde bir seri sulandırımları yapılmıştır.

Kontrol serisi olarak, önce her gönüllünün doz öncesi alınan kanından ayrılmış plazması içinde flukonazol'ün 500 $\mu\text{g}/\text{ml}$ 'den 0.09 $\mu\text{g}/\text{ml}$ 'ye kadar sulandırımları hazırlanmış ve her bir sulandırının konsantrasyonu BYNB besiyeri içinde 1/10 seyreltilmiştir.

Ayrıca yalnız BYNB besiyeri içeren bir kontrol tüp deneye alınmıştır.

Bütün serilere *Candida albicans* suşu ($0.5-2.5 \times 10^3$ kob/ml) ilave edilmiş ve seriler 48 saat 37°C 'de inkübe edilmiştir. İnkübasyon sonucunda önce bulanıklık görülmeyen en yüksek sulandırımlardaki tüpler saptanarak kaydedilmiştir. Bilinmeyen plazma örneklerinin üremeyi inhibe eden sulandırım katlarının, bilinen konsantrasyondaki flukonazol içeren plazma örneklerinin üremeyi inhibe eden sulandırım katlarına oranının, bilinen konsantrasyon miktarına çarpımı ile bilinmeyen plazma örneklerindeki flukonazol konsantrasyonu $\mu\text{g}/\text{ml}$ olarak hesaplanmıştır (11,46,86).

2.3. Polimorf Nüveli Lökositlerin (PNL) Elde Edilmesi :

21-30 yaş grubu sağlıklı gönüllülere 300 mg flukonazol oral olarak verilmiştir. Doruk plazma seviyesi ilaç alındıktan 1.5-2.5 saat sonra oluşmaktadır. Plazma yarılanma ömrü ise yaklaşık 30 saat sonra meydana gelmektedir (65,76,79). Buna dayanılarak ilaç verildikten iki saat sonra gönüllülerden 20 ml venöz kan, içinde 1.5 mg/ml etilen diamin tetra asetik asit (EDTA) bulunan silikon kaplı tüplere alınmıştır. Alınan kan 2500 rpm'de 30 dakika çevrilmiştir. İşlem sonrasında tüpün dibine çöken eritrositler ile tüpün üst kısmında bulunan plazma arasında sarımsı beyaz renkte bir tabaka (buffy coat) oluşmaktadır. Bu tabaka pastör pipeti ile alınmıştır. Daha sonra alınan bu tabaka, içinde 2.5 ml Ficoll-Hypaque ve 2.5 ml

polymorphoprep bulunan tüpe konulmuş ve 3000 rpm'de 30 dakika çevrilmiştir (72,87). İşlem sonunda tüpün dibine çöken eritrositler ile en üstteki monosit tabakasının arasında kalan PNL'ler yine pastör pipeti ile alınmıştır. PNL'ler daha sonra 3 kez 2000 rpm'de 3 ml buz soğukluğunda PBS ile yıkılmıştır (45). Son aşamada PNL'ler Ca^{+2} ya da Mg^{+2} içermeyen HBSS ile 5×10^6 hücre/ml olacak şekilde süspansiyon haline getirilmiştir (4,68).

PNL sayımı Thoma lamında yapılmıştır (9). Bu yöntemle elde edilen lökositlerin % 98-99'u PNL'dir (4,10,60,88).

Aynı işlemler gönüllülerden doz öncesi alınan venöz kan ile tekrarlanmış ve doz sonrası kan ile aynı koşullarda çalışılmıştır.

2.4. Polimorf Nüveli Lökosit (PNL) Canlılık Deneyi :

Bir hacim PNL süspansyonu, bir hacim % 0.9 serum fizyolojik içinde hazırlanmış % 0.5 tripan mavisi ile eşit oranda karıştırılmıştır. Oda ısısında 5 dakika bekletildikten sonra mikroskop altında boyalı canlı hücreler sayılmıştır (4).

2.5. Flukonazol'ün Aderens Üzerine Etkisi:

Aderens deneyinde plastik mikrotitrasyon plağı kullanılmıştır. Doz öncesi ve doz sonrası gönüllülerden alınan venöz kandan elde edilen PNL'den 100 μl ($5 \times 10^6/\text{ml}$) U dipli kuyulara konulmuştur. Daha sonra plak % 5 CO_2 içeren nemli ortamda 37 °C'de 30 dakika inkübe edilmiştir. İnkübasyon sonunda kuyular HBSS ile yıkarak yapışmayan hücreler uzaklaştırılmıştır. Yıkama işleminden sonra PNL'lerin parçalanması için kuyulara 100 μl soğuk distile su konulmuş ve -20°C'de dondurulup oda ısısında çözündürülmüştür. Bu işlem üç kez tekrarlanmıştır. Daha sonra PNL'deki protein miktarı Lowry yöntemi ile spektrofotometrede 500 nm'de ölçülmüştür. Alınan absorbans değerleri standart eğriden okunarak protein miktarları $\mu\text{g}/\text{ml}$ olarak saptanmıştır (47,74,82).

2.5.1. Lowry Yöntemi ile Protein Ölçümü :

Standart protein eğrisini çizmek için aşağıdaki çözeltiler hazırlanmıştır (47).

2.5.1.a. A Çözeltisi :

2 N NaOH distile suda çözündürülmüştür.

2.5.1.b. B çözeltisi :

% 2 Na₂CO₃

% 1 CuSO₄·5H₂O

% 2 NaKC₄H₄O₆

Distile suda çözündürülmüştür.

2.5.1.c. C çözeltisi :

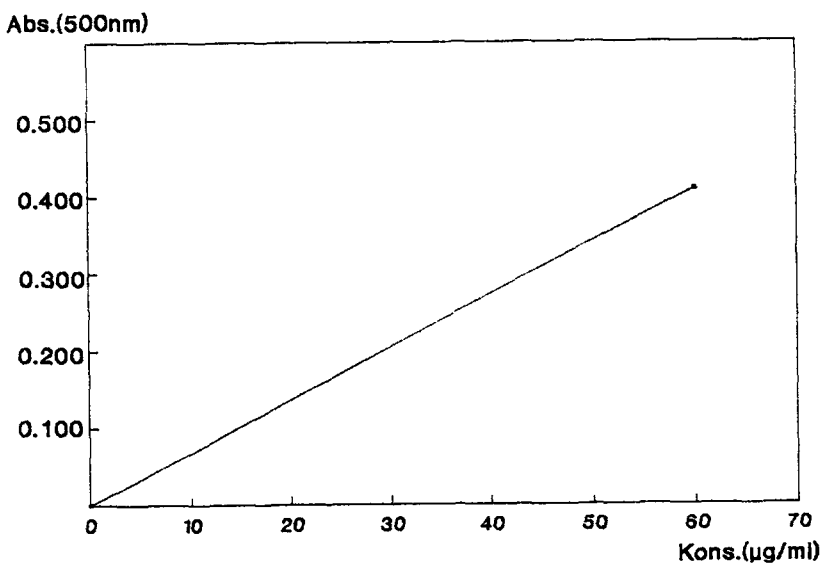
Folin reaktifi eşit oranda distile su ile sulandırılarak taze hazırlanıp kullanılmıştır.

2.5.1.d. Stok Bovin Serum Albumini (BSA) :

Standart protein olarak, konsantrasyonu 1 mg/ml olacak şekilde distile suda hazırlanmıştır.

2.5.1.e. Standart Protein Eğrisi :

BSA stok çözeltisinden 60,50,40,30,20,10,0 µg/ml olacak şekilde protein konsantrasyonları hazırlanmıştır. Üzerlerine 50 µl A çözeltisi konulmuş ve 37 °C'de 30 dakika inkübe edilmiştir. İnkübasyon sonunda tüplere 1 ml B çözeltisi ilave edilmiş ve karanlıkta 10 dakika oda ısısında bekletilmiştir. Daha sonra 100 µl C çözeltisi hızlı bir şekilde konulmuş ve hemen vortekste karıştırılmış, 37°C'de 30 dakika tekrar inkübe edilmiştir. İnkübasyon sonunda, kör tüpü ile protein konsantrasyonu en düşük olan tüpten başlayarak absorbans değerleri okunmuştur. Standartın sulandırımlarının 500 nm'de spektrofotometrede okunan absorbans ve protein konsantrasyonu değerleri arasında standart protein eğrisi çizilmiştir (47,74) (Şekil 3).



Şekil 3 : Lowry Standart Protein Eğrisi.

2.5.2. Aderens Deneyinin Yapılışı :

Aderensin ne oranda gerçekleştiğini saptamak için, mikrotitrasyon plağında üç kez dondurulup çözündürülen PNL'ler tüplere aktarılmıştır. Doz öncesi ve doz sonrası PNL'lerdeki protein miktarlarına Lowry protein yöntemi uygulanmıştır. Spektrofotometrede 500 nm'de okunduktan sonra alınan absorbans değerleri, standart protein eğrisi ile karşılaştırılarak protein miktarları $\mu\text{g}/\text{ml}$ olarak hesaplanmıştır (47). Her deney iki kez tekrarlanmıştır.

2.6. Flukonazol'ün Kemotaksi Üzerine Etkisi :

PNL'lerin kemotaktik faktöre doğru göçü Nelson ve ark.'nın (57) önerdiği, serum ile opsonize edilmiş zimozan'ın kullanıldığı agaroz altı yöntemi ile ölçülmüştür.

2.6.1. İnaktif Serum Hazırlanması :

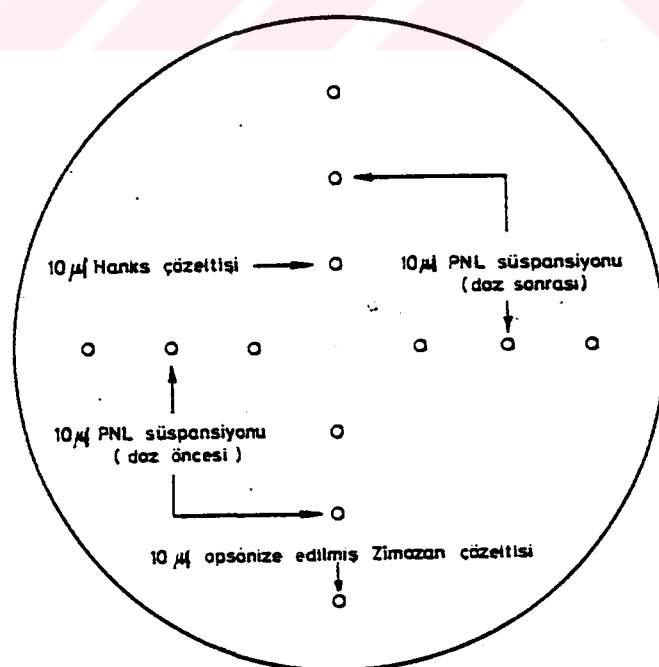
Sağlıklı gönüllülerden 10 ml antikoagülsiz kan alınmıştır. 3000 rpm'de 15 dakika çevrilen kandan ayrılan serum 56°C 'de su banyosunda 30 dakika inaktive edilmiştir (78).

2.6.2. Zimozan Opsonizasyonu :

7.5 mg zimozan HBSS ile 2000 rpm'de 10 dakika çevrilerek iki kez yıkanmıştır. Dipte kalan çökeltiye 0.5 ml taze insan serumu eklenmiş ve 37 °C'de 20 dakika inkübe edilmiştir. Bu süre sonunda opsonize olan zimozan, 2000 rpm'de 10 dakika çevrilerek serumdan uzaklaştırılmıştır. Dipte kalan çökelti HBSS ile bir kez yıkanmıştır. Daha sonra üzerine 0.5 ml HBSS ilave edilerek homojen bir zimozan süspansiyonu hazırlanmıştır (78).

2.6.3. Agaroz Jelin Hazırlanması :

150 mg agaroz 9 ml distile suda 100 °C'de 10-15 dakika kaynatılarak eritilmiştir. Diğer tarafta 9 ml HBSS, 2 ml % 10 inaktif serum ve 7.5 mg NaHCO₃ karışımı hazırlanmış ve 48 °C'ye getirilmiş agaroz jeli içine karıştırılmıştır. Bu karışım bekletilmeden çapı 60 x 15 mm olan petri kutularına 5 ml konulmuştur. Jel katılaşıkdan sonra petri kutuları 4 °C'de 30-60 dakika bekletilmiştir. Bu süre sonunda agaroz jelinin üzerinde oluk açıcı kullanılarak dört seri, birbirleri ile 2.4 mm aralık olacak şekilde, 2.4 mm çapında üçlü oluklar açılmıştır (18,57,78)(Şekil 4.).



Şekil 4 : Kemotaksi Deneyinin Şeması.

2.6.4. Kemotaksi Deneyinin Yapılışı :

Petri kutusundaki agaroz üzerine açılan iki seri 2.4 mm çapındaki üçluğun ortasındaki oluğa, flukonazol ile in vivo karşılaşmış HBSS içindeki PNL süspansiyonundan 10 μ l, dıştaki oluğa kemotaktik faktör olarak opsonize edilmiş zimozan çözeltisinden 10 μ l, içteki oluğa da kontrol olarak HBSS tamponundan 10 μ l konulmuştur. Aynı petri kutusunda açılmış olan diğer iki seri 2.4 mm çapındaki üçluğun ortasındaki oluğa ise 10 μ l doz öncesi PNL süspansiyonu (5×10^6 /ml) konulmuştur. Diğer oluklara bir önceki işlemlerin aynısı uygulanmıştır. Daha sonra petri kutuları % 5 CO₂ içeren nemli ortamda 37 °C'de 2 saat inkübe edilmiştir. Bu süre sonunda petri kutularındaki PNL'ler 3 ml metanol ile 30 dakika tespit edilmiştir. Daha sonra 1/10 sulandırılmış Giemsa boyası ile 30 dakika bekletilmiş, distile su ile bir kez yıkamış ve havada kurutulmuştur (57,78).

Agaroz altında PNL'lerin kemotaktik faktöre göçü 10x büyütme ile mikroskopta incelenmiştir. PNL'lerin kemotaktik faktöre göçü oküler mikrometresi kullanılarak mikroskopta ölçülmüştür (18). Her deney dört kez tekrarlanmıştır.

2.7. Flukonazol'ün Süperoksit Anyonu Oluşumu Üzerine Etkisi :

PNL'ler tarafından oluşturulan süperoksit miktarı Babior ve ark'nın (4) önerdiği, süperoksit dismutaz enzimi inhibisyonu ile sitokrom c'nin indirgenmesi yöntemi kullanılarak ölçülmüştür (17).

Deney süperoksit dismutaz varlığında ve yokluğunda olmak üzere doz öncesi ve doz sonrası PNL'ler (5×10^6 hücre/ml) ile iki seri çalışılmıştır. Birinci seride 1.4 ml doz öncesi PNL, ikinci seride 1.4 ml doz öncesi PNL ve 10 μ l süperoksit dismutaz enzimi (3 mg/ml), üçüncü seride 1.4 ml doz sonrası PNL, dördüncü seride ise yine 1.4 ml doz sonrası PNL ve 10 μ l süperoksit dismutaz enzimi konulmuştur. Seriler 37 °C'de 2 dakika inkübe edilmiştir. İnkübasyon sonunda serilere 0.1 ml sitokrom c (30 mg/ml) ve daha önceki deneylerde açıklandığı şekilde hazırlanmış 1.5 ml opsonize zimozan (12 mg) ilave edilmiş ve hızlı bir şekilde karıştırılmıştır. Her karışımından 1.5 ml kör tüplerine aktarılmış ve

bu tüpler buz içinde saklanmıştır. Diğerleri 37 °C’ de 30 dakika inkübe edilmiştir. Daha sonra tüm seri 3000 rpm’ de 20 dakika çevrilerek PNL’ler ve zimozan ortadan kaldırılmıştır. Üst sıvı alınmış ve indirgenen sitokrom c spektrofotometrede 550 nm’de ölçülmüştür. Reaksiyon sonunda oluşan süperoksit miktarı aşağıdaki formül ile hesaplanmış ve sonuçlar nmol süperoksit/ 10^6 PNL/30 dakika olarak ifade edilmiştir (4,5,17,20,29,62). Her deney iki kez tekrarlanmıştır.

$$O_2^- (\text{nmol}) = \text{Absorbans} \times \text{İnkübasyon karışım hacmi (ml.)} \times 47.4$$

2.8. Flukonazol’ün *Candida albicans* Blastokonidyasının PNL’ler İçinde Ölümüne Etkisi :

Çalışmamızda Alexander ve ark.’nın (2) yöntemi aşağıdaki şekilde modifiye edilerek kullanılmıştır.

2.8.1. *Candida albicans* Suşunun Hazırlanması :

Candida albicans’ın sıvı Sabouraud dekstroz besiyerine (SDB) pasajı yapılmış ve 24 saat 37 °C’de inkübe edilmiştir. Bir gün sonra birinci pasajdan yine sıvı Sabouraud besiyerine ikinci bir pasaj yapılmış ve 4 saat 37 °C’ de inkübe edilmiştir (85). İnkübasyondan sonra taze hazırlanmış maya süspansiyonu 2000 rpm’de 10 dakika çevrilerek iki kez fizyolojik tuzlu su ile yıkılmıştır. Daha sonra Mc Farland 0.5’e ayarlanmıştır (4,59,64).

2.8.2. *Candida albicans*’ın Opsonizasyonu :

Mc Farland 0.5’e göre ayarlanan maya süspansiyonu 1/10 insan inaktif serumu ile 37 °C’de 20 dakika opsonize edilmiştir. Daha sonra 3500 rpm’de çevrildikten sonra PBS ile yıkıp serumdan uzaklaştırılmıştır. Bunu takiben maya süspansiyonu HBSS ile 1×10^7 kob/ml’ye ayarlanmıştır (4,60,68).

2.8.3. *Candida albicans* Blastokonidyasının PNL'ler İçinde Ölümünü Ölçülmesi :

Deney; doz öncesi ve doz sonrası olmak üzere 5 ayrı tüpte (A,B,C,D,E) yapılmıştır.

A Serisi (In vitro)	PNL'ler (5×10^6 hücre/ml)	+ Flukonazol (12.5 µg/ml.)	+ <i>Candida albicans</i> (1×10^7 kob/ ml.)
B Serisi (Doz öncesi)	PNL'ler (5×10^6 hücre/ml)	+ HBSS	+ <i>Candida albicans</i> (1×10^7 kob/ ml.)
C Serisi (In Vivo) (Doz sonrası)	PNL'ler (5×10^6 hücre/ml)	+ HBSS	+ <i>Candida albicans</i> (1×10^7 kob/ ml)
D Serisi (Kontrol)	Flukonazol (12.5 µg/ml)	+ HBSS	+ <i>Candida albicans</i> (1×10^7 kob/ ml)
E Serisi (Kontrol)	HBSS		+ <i>Candida albicans</i> (1×10^7 kob/ ml)

PNL'ler ve opsonize maya (9:1 oranında) ile plazma konsantrasyonundaki flukonazol'den oluşan fagositoz karışımı 37 °C'de inkübe edilmiştir. Deney sıfır zaman, otuz ve doksan dakikalık süreler içinde yapılmıştır. Sıfır zamanda A, B ve C serilerinin distile suda, D ve E serilerinin ise fizyolojik tuzlu suda 10^{-1} sulandırımları yapılmıştır. Bu sulandırımlardan 0.1 ml alınıp SDA'a çift ekim yapılmış ve 37 °C'de 48 saat inkübe edildikten sonra maya kolonileri sayılmış ve ortalamaları alınmıştır.

A, B, C serileri otuz ve doksan dakika sonunda santrifüjde 3500 rpm'de 7 dakika çevrilmiş ve buz soğukluğundaki PBS ile 3 kez yıkamıştır. Yıkama sonrasında üzerlerine 3 ml buz soğukluğunda distile su ilave edilmiş ve vortekste karıştırılmıştır. Daha sonra fizyolojik tuzlu suda 10^{-1} dilüsyonları hazırlanmış ve 0.1 ml alınıp SDA'a çift ekim yapılmıştır. 37°C'de 48 saat inkübasyondan sonra üreyen maya kolonileri sayılmış ve ortalamaları alınmıştır (4,60).

D ve E serilerine ise sıfır zamandaki işlemlerin aynısı uygulanmıştır.

BULGULAR

2.1. Antifungal Duyarlılık Deneyi:

Flukonazol'ün *Candida albicans* (4826) suşuna karşı MİK değeri 0.4 $\mu\text{g}/\text{ml}$ olarak bulunmuştur.

2.2. Flukonazol'ün Plazma Konsantrasyonunun Saptanması:

Sağlıklı gönüllüler (n=10) tarafından oral olarak alınan 300 mg flukonazol'ün iki saat sonra ulaştığı plazma konsantrasyonu 12.5 $\mu\text{g}/\text{ml}$ olarak saptanmıştır.

2.3,4. PNL'lerin Elde Edilmesi ve Canlılık Deneyi:

Her bir sağlıklı gönüllüden alınan kandan 5×10^6 PNL/ml elde edilmiş ve PNL'lerin canlılık deneyinde canlı PNL sayısı %98'den büyük bulunmuştur.

2.5. Flukonazol'ün Aderens Üzerine Etkisi:

Flukonazol alınmadan (doz öncesi) ve 300 mg flukonazol alındıktan (doz sonrası) iki saat sonra alınan sağlıklı gönüllülerin kanlarından ayrılan PNL'lerin

mikrotitrasyon plagi kuyucuklarındaki protein miktarları Tablo 1’de görülmektedir.

Tablo 1: 300 mg Flukonazol’ün insan PNL’lerinin aderensi üzerine etkisi:

Denek No	PNL’lerde Total Protein Miktarları	
	Doz Öncesi	Doz Sonrası
1	37.5	38.2
2	41.5	42.3
3	38.0	38.5
4	49.5	50.2
5	52.1	52.5
6	40.5	41.5
7	51.5	52.0
8	47.5	49.0
9	38.5	40.5
10	46.2	47.1
Aritmetik Ortalama	44.28	45.18
Standart Sapma	± 5.73	± 5.58

t:5.71 P<0.001 (Paired T-Test)

Ortalama protein miktarları doz öncesinde $44.28 \pm 5.73 \mu\text{g/ml}$, doz sonrasında ise $45.18 \pm 5.58 \mu\text{g/ml}$ olarak bulunmuştur.

Bu sonuçlara göre $12.5 \mu\text{g/ml}$ plazma konsantrasyonuna ulaşan 300 mg flukonazol, insan PNL’lerinin aderensini doz öncesine göre anlamlı olarak artırmıştır.(t:5.71, p<0.001 Paired t testi).

2.6. Flukonazol’ün Kemotaksi Üzerine Etkisi:

Flukonazol alınmadan (doz öncesi) ve 300 mg flukonazol alındıktan iki saat sonra (doz sonrası) sağlıklı gönüllülerin kanlarından ayrılan PNL’lerin kemotaktik faktöre (zimozan) doğru göçü Tablo 2 ve 3, Resim 1 ve 2’de görülmektedir.

Tablo2: 300 mg Flukonazol'ün agaroz altında insan PNL'lerinin kemotaksi üzerine etkisi.

Denek No:	Agarda Açılan Kuyuların İçeriği (10µl)	A ^a	B ^b	A/B	A-B
1	PNL/Zimozan/HBSS Doz Öncesi	3.5*	1.7*	2.1	1.8
	PNL (300mg Flukonazol)/Zimozan/HBSS Doz Sonrası	3.6	1.6	2.3	2.0
2	PNL/Zimozan/HBSS Doz Öncesi	2.9	1.1	2.6	1.8
	PNL (300mg Flukonazol)/Zimozan/HBSS Doz Sonrası	3.0	1.1	2.7	1.9
3	PNL/Zimozan/HBSS Doz Öncesi	3.3	1.5	2.2	1.8
	PNL (300mg Flukonazol)/Zimozan/HBSS Doz Sonrası	2.8	0.9	3.1	1.9
4	PNL/Zimozan/HBSS Doz Öncesi	3.5	1.7	2.1	1.8
	PNL (300mg Flukonazol)/Zimozan/HBSS Doz Sonrası	3.5	1.7	2.1	1.8
5	PNL/Zimozan/HBSS Doz Öncesi	2.8	1.0	2.8	1.8
	PNL (300mg Flukonazol)/Zimozan/HBSS Doz Sonrası	2.9	1.0	2.9	1.9
6	PNL/Zimozan/HBSS Doz Öncesi	3.4	1.7	2.0	1.7
	PNL (300mg Flukonazol)/Zimozan/HBSS Doz Sonrası	3.5	1.6	2.2	1.9
7	PNL/Zimozan/HBSS Doz Öncesi	2.9	1.1	2.6	1.8
	PNL (300mg Flukonazol)/Zimozan/HBSS Doz Sonrası	2.9	1.0	2.9	1.9
8	PNL/Zimozan/HBSS Doz Öncesi	3.3	1.3	2.5	2.0
	PNL (300mg Flukonazol)/Zimozan/HBSS Doz Sonrası	3.5	1.6	2.2	1.9
9	PNL/Zimozan/HBSS Doz Öncesi	2.9	1.2	2.4	1.7
	PNL (300mg Flukonazol)/Zimozan/HBSS Doz Sonrası	2.8	1.1	2.5	1.7
10	PNL/Zimozan/HBSS Doz Öncesi	3.1	1.3	2.4	1.8
	PNL (300mg Flukonazol)/Zimozan/HBSS Doz Sonrası	3.1	1.2	2.6	1.9

a: Kemotaksi.

b: Spontan göç.

*: 4x Büyütme ile PNL'lerin göç uzaklığının (mm olarak) ölçümü.

A/B: Kemotaktik indeks.

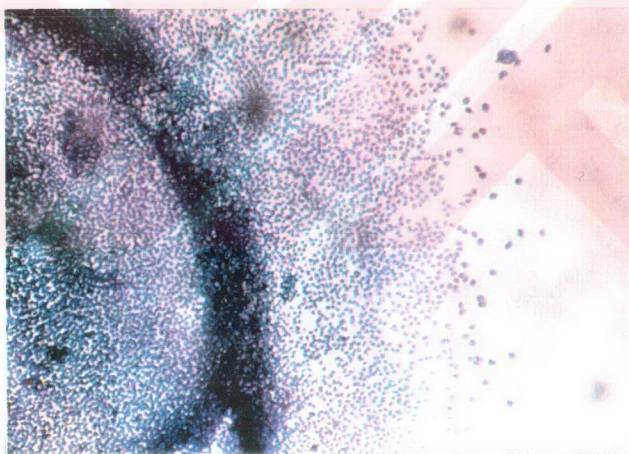
A-B: Kemotaktik fark.

Tablo 3: Kemotaktik İndeks ve Kemotaktik fark aritmetik ortalamaları:

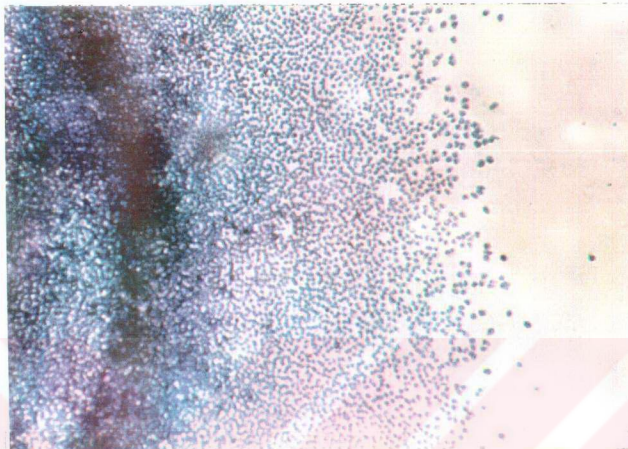
Paired t-Test		Aritmetik Ortalama	Standart Sapma
A/B	Doz Öncesi	2.37	± 0.26
	Doz Sonrası	2.55	± 0.34
	t:1.89	p>0.05	
A-B	Doz Öncesi	1.80	± 0.08
	Doz Sonrası	1.88	± 0.07
	t:2.75	p<0.05	

Kemotaktik indeks ortalaması doz öncesinde 2.37 ± 0.26 mm, doz sonrasında 2.55 ± 0.34 mm olarak ölçülmüştür ($t:1.89$, $p>0.05$ Paired t testi).

Kemotaktik fark ortalaması doz öncesinde 1.80 ± 0.08 mm, doz sonrasında 1.88 ± 0.07 mm olarak ölçülmüştür ($t:2.75$, $p<0.05$ Paired t testi).



Resim 1: Doz öncesi PNL'lerin kemotaktik faktöre (Zimozan) doğru gücü (İki saat içinde).



Resim 2: Doz sonrası (Flukonazol 300 mg/oral) PNL'lerin kemotaktik faktöre (Zimozan) doğru göçü (İki saat içinde).

Deney sonuçları, 12.5 µg/ml plazma konsantrasyonuna ulaşan 300 mg flukonazol ile in vivo koşullarda etkilenen insan PNL'lerinin kemotaktik faktöre (Zimozan) doğru göçü ile doz öncesi insan PNL'lerinin kemotaktik faktöre (Zimozan) doğru göçü arasında anlamlı bir fark bulunmadığını göstermektedir.

2.7. Flukonazol'ün Süperoksit Anyonu Oluşumu Üzerine Etkisi:

Flukonazol alınmadan (doz öncesi), 300 mg flukonazol alındıktan iki saat sonra (doz sonrası) sağlıklı gönüllülerin kanlarından ayrılan PNL'lerin, süperoksit dismutaz enzimi ve opsonize zimozan varlığında oluşturduğu süperoksit anyonu miktarları Tablo 4'te görülmektedir.

Tablo 4: 300 mg Flukonazol'ün insan PNL'lerinin süperoksit anyonu oluşturmazı üzerine etkisi:

Denek No	Süperoksit anyonu ($\text{nmol}/10^6\text{PNL}/30\text{dakika}$)	
	Doz Öncesi	Doz Sonrası
1	10.1265	11.2405
2	14.1530	14.2165
3	13.4800	14.0120
4	12.1315	12.4108
5	11.1218	12.0001
6	12.3560	12.4128
7	13.9182	13.9888
8	11.4358	11.8570
9	12.6870	12.6135
10	13.8252	13.5210
Aritmetik Ortalama	12.5235	12.8273
Standart Sapma	± 1.346	± 1.038

t:2.186 p>0.05 (Paired T-Test)

Doz öncesi süperoksit anyonu ortalaması $12.5235 \pm 1.346 \text{ nmol}/10^6 \text{ PNL}/30 \text{ dakika}$, doz sonrası süperoksit anyonu ortalaması $12.8273 \pm 1.038 \text{ nmol}/10^6 \text{ PNL}/30 \text{ dakika}$ olarak saptanmıştır (t:2.186, p> 0.05 Paired t testi).

Deney sonuçları, oral alındıktan iki saat sonra $12.5 \mu\text{g}/\text{ml}$ plazma konsantrasyonuna ulaşan 300 mg flukonazol' ün insan PNL'lerinin süperoksit anyonu oluşturmalarını etkilemediğini göstermektedir.

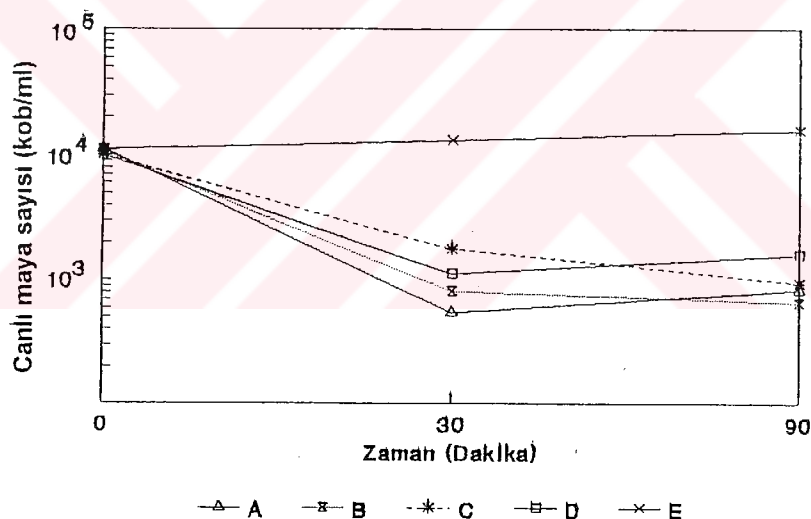
2.8. Flukonazol'ün *Candida albicans* Blastokonidyasının PNL'ler İçinde Ölümüne Etkisi:

Oral alındıktan iki saat sonra $12.5 \mu\text{g}/\text{ml}$ plazma konsantrasyonuna ulaşan flukonazol'ün sıfır zaman, otuz ve doksan dakikalık temas süreleri sonunda *Candida albicans* blastokonidyasının PNL'ler tarafından öldürülmesinin, in vitro (A), in vivo (C) ve doz öncesi (B) aynı koşullarda yapılan deneylerde istatistiksel bakımdan anlamlı sonuç verdiği gözlenmiştir (Tablo 5, Şekil 5, Resim 3, 4, 5, 6, 7, 8, 9, 10, 11).

Tablo 5: Candida albicans blastokonidyasının PNL'ler içinde ölümü üzerine 300 mg flukonazol'un etkisi.

Zaman (dakika)		A	B	C	D	E
0	Aritmetik Ortalama Standart Sapma	11.27×10^4 ± 0.85	10.08×10^4 ± 0.73	9.95×10^4 ± 0.78	10.01×10^4 ± 0.97	11.01×10^4 ± 0.36
	*F:341.25 p<0.05					
30	Aritmetik Ortalama Standart Sapma	5.52×10^3 ± 1.28	8.1×10^3 ± 1.93	17.58×10^3 ± 1.51	11.22×10^3 ± 1.96	131.46×10^3 ± 4.16
	F:260.78 p<0.0001					
90	Aritmetik Ortalama Standart Sapma	8.31×10^3 ± 1.59	6.57×10^3 ± 1.45	9.51×10^3 ± 1.53	15.9×10^3 ± 2.69	157.53×10^3 ± 2.14
	F:2736.8 p<0.0001					

* Eşlendirilebilir veriler için ANOVA testi.



Şekil 5: Candida albicans blastokonidyasının PNL'ler içinde ölümü üzerine 300 mg flukonazol'un etkisi.



Resim 3: A serisi 0 zaman.



Resim 4: A serisi 30 dakika.



Resim 5: A serisi 90 dakika.

Resim 3,4,5: PNL'ler tarafından *Candida albicans*'ın hücre içi ölümü üzerine flukonazol'un in vitro etkisi



Resim 6: B serisi 0 zaman.

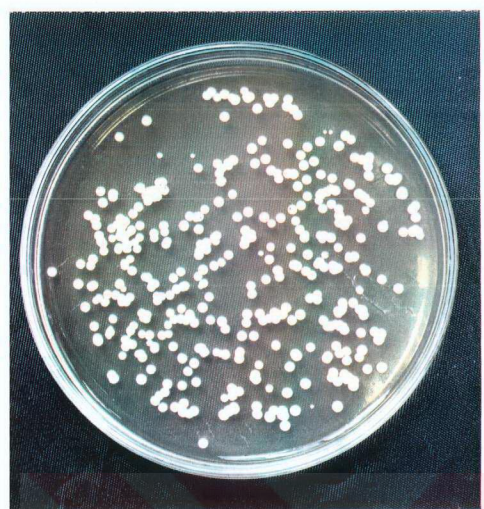


Resim 7: B serisi 30 dakika.



Resim 8: B serisi 90 dakika.

Resim 6,7,8: PNL'ler tarafından *Candida albicans*'ın hücre içi ölümü üzerine flukonazol'ün doz öncesi etkisi



Resim 9: C serisi 0 zaman.



Resim 10: C serisi 30 dakika.



Resim 11: C serisi 90 dakika.

Resim 9,10,11: PNL'ler tarafından *Candida albicans*'ın hücre içi ölümü üzerine flukonazol'un in vivo etkisi

Sıfır zamanda ve otuz dakika etkileşim sonunda, in vitro (A) deney koşullarında canlı maya sayısı ortalamaları $112.7 \times 10^3 \pm 0.85$ kob/ml ve $5.52 \times 10^3 \pm 1.28$ kob/ml olarak, in vivo (C) deney koşullarında canlı maya sayısı ortalamaları 99.5×10^3 kob/ml ve $17.58 \times 10^3 \pm 1.51$ kob/ml ve doz öncesi (B) deney koşullarında canlı maya sayısı ortalamaları $100.8 \times 10^3 \pm 0.73$ kob/ml ve $8.1 \times 10^3 \pm 1.93$ kob/ml olarak sayılmıştır (F: 260.78, p < 0.0001 Eşlendirilmiş veriler için ANOVA testi).

Sıfır zamanda ve doksan dakika etkileşim sonunda ise; in vitro (A) deney koşullarında canlı maya sayısı ortalamaları $112.7 \times 10^3 \pm 0.85$ kob/ml ve $8.31 \times 10^3 \pm 1.59$ kob/ml olarak, in vivo (C) deney koşullarında canlı maya sayısı ortalamaları $99.5 \times 10^3 \pm 0.78$ kob/ml ve $9.51 \times 10^3 \pm 1.53$ kob/ml ve doz öncesi (B) deney koşullarında canlı maya sayısı $100.8 \times 10^3 \pm 0.73$ kob/ml ve $6.57 \times 10^3 \pm 1.45$ kob/ml olarak sayılmıştır (F: 2736.8, p < 0.0001 Eşlendirilmiş veriler için ANOVA testi).

Deney sonuçlarına göre; otuz dakika etkileşim sonunda in vitro (A) deney koşullarında PNL'lerin hücre içi öldürme oranı % 95 bulunurken, doz sonrası in vivo (C) deney koşullarında % 82, doz öncesi (B) deney koşullarında ise % 92 olarak bulunmuştur.

Doksan dakika etkileşim sonunda ise in vitro (A) deney koşullarında PNL'lerin hücre içi öldürme oranı % 93, in vivo (C) deney koşullarında % 90.5 ve doz öncesi (B) deney koşullarında ise % 93.5 olarak bulunmuştur.

Bu sonuçlara göre, doksan dakika etkileşim sonunda in vitro (A) deney koşullarında hücre içi öldürme yüzdesi, in vivo (C) deney koşullarına oranla az bir farkla in vitro (A) lehine aykırılık göstermesine karşın, doz öncesi (B) PNL'lerin hücre içi ölüm yüzdesi ile birbirine yakın bulunmuştur.

Ayrıca kontrol olarak, PNL yokluğunda flukonazol'ün *Candida albicans* üzerine etkisi (D) ve flukonazol yokluğunda *Candida albicans* üremesi (E) sıfır zamanda, otuzuncu ve doksanıncı dakikalarda anlamlı sonuçlar göstermiştir (Tablo 5, Resim 12,13,14,15,16,17).



Resim 12: D serisi 0 zaman.



Resim 13: D serisi 30 dakika.



Resim 14: D serisi 90 dakika.

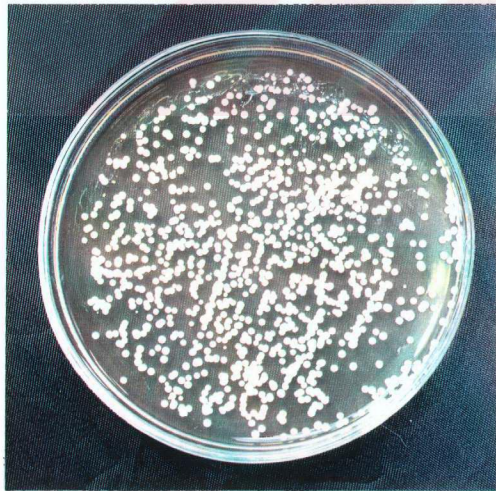
Resim 12,13,14: PNL yokluğunda flukonazol'ün *Candida albicans* üzerine etkisi.



Resim 15: E serisi 0 zaman.



Resim 16: E serisi 30 dakika.



Resim 17: E serisi 90 dakika.

Resim 15,16,17: Flukonazol yokluğunda *Candida albicans* üremesi.

Flukonazol'ün 300 mg'lık dozu, otuz dakika etkileşimden sonra, insan PNL'leri tarafından *Candida albicans*'ın hücre içi ölümünü in vitro (A) koşullarda, doz öncesi (B) ve PNL yokluğunda flukonazol'ün *Candida albicans* üzerine etkisine (D) göre daha fazla artırılmıştır. Doksaninci dakikada ise in vitro (A) etki ile doz öncesi (B) etki arasında belirgin bir fark bulunmamasına karşın, PNL yokluğunda flukonazol'ün *Candida albicans* üzerine etkisine (D) göre in vitro (A) ilaç etkisinin PNL'ler ile beraber olduğunda *Candida albicans*'ın hücre içi ölümü üzerine daha etkili olduğu görülmektedir.

İn vivo (C) koşullarda ise otuzuncu ve doksaninci dakikada PNL'ler tarafından *Candida albicans*'ın hücre içi ölümü arttığı halde, flukonazol'ün in vitro (A) ve doz öncesi (B) koşullarda PNL'lerin *Candida albicans*'ın hücre içi ölümünü daha fazla artırdığı görülmüştür.

Bu sonuçlara göre; flukonazol'ün 300 mg'lık oral dozu, in vitro koşullarda insan PNL'eri tarafından *Candida albicans*'ın hücre içi ölümünü in vivo koşullara göre daha fazla artırmıştır.

TARTIŞMA

İnfeksiyon etkeni olan bir mikroorganizma vücuta girdiğinde konağın immün sistemi harekete geçer. Bu amaçla vücudun immün sistem hücreleri; nötrofiller, mononükleer fagositik hücreler, antikor oluşturan B lenfositleri hücresel bağışıklığın yapı taşıları olan T lenfositleri, doğal öldürücü (NK) hücreler ve antikora bağımlı hücresel sitotoksitese de rol oynayan hücreler, birbiri arasında meydana gelen karmaşık bir etkileşim mekanizması ile yabancı etkeni yıkma uğratrırlar (35,41).

Canlinin mikroorganizmaya karşı verdiği bu savaşta mikroorganizmanın üstesinden bir an önce gelebilmek için kemoterapötik maddelerin hastaya verilmeleri 19. yüzyılın sonuna dek uzanan bir uygulamadır (35,41).

Patojen mikroorganizmaların üremelerini engelleyerek ya da onları direkt öldürerek etki eden kemoterapötik maddelerin yararlarının yanında, bunların konak üzerinde toksik ve allerjik reaksiyonlar gibi yan etkilerinin de olduğu anlaşılmıştır (35,41).

Daha sonra 1950'li yıllara gelindiğinde, bu kemoterapötik maddelerin kemik iliğine toksisite gibi direkt etkilerinin yanında, hastanın kendi immün sistemini de olumlu ya da olumsuz yönde etkilediği fark edilmiştir (35,41).

Bazı bilim adamları kemoterapi uygulanan hastalarda immün yanıtın zayıflamasını, erken kemoterapi uygulaması sonucu, immün sistemin yeterli derecede uyarılamamasına bağlamışlardır (35,41).

Diğer bir grup araştıracı ise; in vitro koşullarda mikroorganizmaya etkili ve serumda yeterli düzeye ulaşan antimikrobiklerin profilaksi ve tedavi amacı ile kullanılması sonucu hastada infeksiyon tablosunun devam etmesini, kemoterapinin hastanın immün sistemi üzerine olumsuz etkisinden kaynaklanabileceğini savunmuşlardır. Bu grup araştırcılar optimal kemoterapi etkilerinin sağlıklı immün sistemi olan hastalarda ortaya çıkabildiğini; bu olumsuz etkinin yalnız immün yetmezlik tablosu gösteren hastalarda görülmeyeğini klinik çalışmalarla göstermişlerdir (6).

Candida ve aspergillus türleri nötropenik kanser hastalarında yaşamı tehdit eden infeksiyonlara neden olan baskın mantar patojenleridir. Polimorf nüveli lökositler fırsatçı mantarlara karşı konak savunmasının önemli bileşenlerinden olduğu için işlevlerinin üzerinde herhangi bir baskılama bu tip infeksiyonlara karşı konağın denetleme yeteneğini kötülestirebilir. Sıklıkla kullanılan bir dizi ilaç; antineoplastikler, analjezikler ve antibiyotikler dahil PNL işlevlerini etkilerler. Bir dizi ilaçın etkisi araştırıldığı halde antifungal ilaçlarla ilgili veriler kısıtlıdır (30,68).

Amfoterisin B poliyen grubu bir antibiyotiktir. Yaklaşık otuz yıldır antifungal tedavide köşe taşıdır. Daha sonra geliştirilen diğer antifungal ilaçlardan bazıları immün sistemi baskılanmış hastalarda kullanılabilir. Bunlar arasında 5-flusitosin, mikonazol, flukonazol, ketokonazol, itrakonazol, silofungin (LY 121019) ve Sch-39304 gelmektedir (68).

Antifungal azoller terapötik dozlarda fungisidal olmaktan çok fungustatiktir. Bu nedenle antifungal ilaçların tek başına konak savunma sisteminde negatif etki oluşturmadığına güvenilebilir ise de bu konuda ileri çalışmalar gerekmektedir (68).

Genel olarak baskılıyıcı özellikleri ağır basan antifungallerin ne oranda patolojik bozukluklara neden oldukları son yıllarda in vitro araştırmalarla aydın-

latılmaya çalışılmaktadır. Bu konuda araştırmalar yoğunlaştırılmalı, antifungal ilaçların *in vivo* da etkisi hiç olmazsa deneysel çalışmalarla da aydınlatılmalıdır (6).

Bu çalışmada, sağlıklı gönüllülere oral verilen 300 mg flukonazol'ün 2 saat sonra ulaştığı doruk plazma konsantrasyonu olan 12.5 µg/ml ilaç konsantrasyonunun, insan PNL fonksiyonları (aderens, kemotaksi, süperoksit anyonu oluşumu ve *Candida albicans*'ın hücre içi ölümü) üzerine olumsuz bir etki göstermediği saptanmıştır.

Mayaların *in vitro* duyarlılık testlerinde seçilecek besiyerinin mayaların iyi üremesine elverişli olması ve denenecek antifungal ile etkileşmemesi ve ayrıca tekrarlanabilir sonuçlara olanak sağlama gerekmektedir (32). Odds (58), imidazol grubu antifungaller ile yapılan duyarlılık çalışmalarında YNB besiyerinde çok fazla değişkenlik görülmemiğini savunmuştur. Bu bilgilerin ışığında tamponlanmış YNB besiyeri kullanılarak flukonazol'ün *Candida albicans*'a karşı MİK değeri 0.4 µg/ml olarak bulunmuştur. Kaynaklarda kandida türlerinin flukonazol için duyarlılık/dirençlilik sınırlarını kesin olarak veren bir bildiriye rastlanmamıştır (90). Rogers ve ark.'ı (67) *Candida albicans* suşları için flukonazol'ün MİK "etki aralığı"nı 0.125-0.5 µg/ml, Dermoumi (22), 0.125->128 µg/ml, Morace ve ark'ı (54), 0.04-12.5 µg/ml, Martin ve ark'ı (50) ise bu değeri 0.05-25 µg/ml olarak bildirmiştir. Bu sonuçlarla karşılaşıldığında bizim çalışmamızda incelediğimiz *Candida albicans* suşu flukonazol'e duyarlı kabul edilmiştir.

Çalışmamızda 300 mg flukonazol'ün insanda iki saat sonra ulaştığı plazma konsantrasyonu 12.5 µg/ml olarak bulunmuştur. Bu amaç için kullanılan yöntemler genelde antibiyotik duyarlılık testlerinin temel ilke ve işlemlerine benzer olduğundan kullanılan mikroorganizmanın üremesini inhibe eden sulandırımları karşılaştırmakla aranan plazmanın fungustatik etkisini de hesaba katarak bu sonuca varılmıştır. Ripa ve ark.'ı (65), 150 mg flukonazol'ün oral alındıktan 2.5 saat sonra High Performance Liquid Chromatograph (HPLC) ile saptadıkları plazma konsantrasyonunu uygulanan yöntemler farklı olmasına karşın bizim bulgularımıza yakın değerlerde bulmuşlardır.

Tucker ve ark.'ı (79), kalın tabakalı agarda diffüzyon yöntemi ile, 100 mg flukonazol'ün 2 saat sonra ulaştığı plazma konsantrasyonunu, bizim çalışmamızdaki 300 mg flukonazol'ün plazma konsantrasyonundan aşağı yukarı üç katı daha az değerde bulmuşlardır. Kaynaklarda verilen bu bilgiler bizim çalışmamızda kullandığımız yöntem ve verileri destekler görünümektedir.

Çalışmamızda saptadığımız 12.5 µg/ml plazma konsantrasyonu, daha önce saptadığımız MİK değerinin yaklaşık olarak otuz katına eşdeğer bir konsantrasyondur. Bazı araştırmalar PNL'ler üzerinde yaptıkları çalışmalarında, 5-20 µg/ml konsantrasyonda flukonazol'ün, *Candida albicans* suşuna karşı MİK değerinden 10 - 40 kez daha yüksek konsantrasyonlar olduğunu ve flukonazol ile tedavi gören hastaların serum düzeyleri ile uygunluk gösterdiğini saptamışlardır (89). Bizim çalışmamızda plazma konsantrasyonunun MİK değerinin 30 katı olması olumlu bir bulgudur.

Çalışmamızda 12.5 µg/ml plazma konsantrasyonu sağlayan 300 mg flukonazol, insan PNL'lerinin aderensini doz öncesine göre anlamlı olarak artırmıştır. Flukonazol'ün PNL'lerin plastik yüzeye aderensine etkisi ile ilgili herhangi bir kaynağa rastlanmamıştır. Sonuçlar flukonazol'ün PNL aderensini artırmada olumlu bir rol aldığı göstermektedir. Antifungal ilaçların çoğu, normal tedavi edici dozda, fagositik hücre fonksiyonları yönünden genelde etkili tedavi sağlar. Böylece PNL'lerin aderensinin artmasında ilaçla uyarılan PNL fonksiyonlarının modifikasyonunun belirli bir etkisi olabilir (39,82).

Van der Auwerda ve ark.'ı (82), *in vitro* çalışmalarında silofungin'in ≥ 20 µg/ml konsantrasyonlarında, PNL'lerin plastik yüzeye aderensini artırdığını, amfoterisin B-deoksikolat ve amfoterisin B'nin ise 6 ve >20 µg/ml konsantrasyonlarda PNL'lerin plastik yüzeye aderensini azalttığını bildirmiştir.

Çalışmamızda 12.5 µg/ml plazma konsantrasyonuna ulaşan 300 mg flukonazol'den *in vivo* koşullarda etkilenen PNL'lerin kemotaktik faktöre (zimozan) doğru gögü ile doz öncesi PNL'lerin kemotaktik faktöre doğru gögü arasında anlamlı bir fark bulunmamıştır.

Roilides ve ark.'ı (68), terapötik dozlarda flukonazol'ün kemotaksi üzerine tutarlı bir etki yapmadığını *in vitro* deneylerle göstermişlerdir. Bu sonuçlar bizim *in vivo* çalışmamızı desteklemektedir. Aynı araştırmacılar bir azol türevi olan ketokonazol'ün insan fagositik hücrelerinin kemotaksisi üzerine ya baskılıyıcı etki gösterdiğini ya da etkisiz kaldığını, ketokonazol'ün $\geq 5 \mu\text{g}/\text{ml}$ dozlarının ise kemotaksiyi anlamlı olarak artırduğunu bildirmişlerdir. Marmer ve ark.'ıda (49), yaptıkları çalışmada aynı verileri bulmuşlardır.

Azoller dışındaki diğer antifungal ilaçlardan; Amfoterisin B'nin $\geq 5 \mu\text{g}/\text{ml}$ konsantrasyonda kemotaksi üzerine olumsuz etki yaparak kemotaksiyi anlamlı biçimde azalttığı, 5-flusitosin'in ve silofungin'in ise terapötik dozlarda kemotaksi üzerine bir etki yapmadığı gösterilmiştir (68).

Bu etraflı çalışmalar, Amfoterisin B, 5-flusitosin, silofungin ve azol grubu antifungal ilaçların (ketokonazol, flukonazol gibi) güvenle erişilebilen serum konsantrasyonunda, *in vitro* PNL fonksiyonlarını baskılamadığını, hatta PNL fonksiyonlarını seçici olarak artırabileceğini göstermektedir (68).

Davies ve ark.'ı (21), birçok antifungal ilaçın PNL kemotaksisi üzerine etkilerini incelemiştir, griseofulvin, klotrimazol, ekonazol, ketokonazol, mikonazol'ün $1 \mu\text{g}/\text{ml}$ konsantrasyonlarda PNL'lerin göçünü anlamlı olarak azalttığını göstermişlerdir. Bir grup araştırmacı ise griseofulvin'in $0.1 \mu\text{g}/\text{ml}$ ve $1 \mu\text{g}/\text{ml}$ konsantrasyonunun kemotaksiyi inhibe ettiğini, $3.1 \mu\text{g}/\text{ml}$ ile $50 \mu\text{g}/\text{ml}$ konsantrasyonda etkisiz olduğunu, 5-flusitosin'in $1-100 \mu\text{g}/\text{ml}$, mikonazol'ün $0.4-50 \mu\text{g}/\text{ml}$, nistatin'in $0.8-100 \mu\text{g}/\text{ml}$ konsantrasyonlarda kemotaksiyi etkilemediğini göstermişlerdir.

In vitro çalışmalara bakıldığından, normal serum düzeyinde birçok antimikrobiğin kemotaksi üzerine etkisinin bulunmadığı görülmektedir. Bir grup antimikrobik ilaçın yüksek konsantrasyonları PNL'lerin göçünü inhibe ederken, bazı antimikrobiklerin tedavi dozunun PNL'lerin göçünü inhibe ettiği ve yüksek konsantrasyonda ise PNL'lerin göçünü artırdığı gösterilmiştir (41).

İn vivo çalışmalarında da; bazı antimikrobiklerin tedavi dozunun gönüllülerin lökosit kemotaksisini % 50 oranında inhibe ettiği ya da etkilemediği ve ayrıca kemotaksiyi de artırdığı gösterilmiştir (6).

PNL fonksiyonları bozuk olan bazı hastalarda antimikrobik ilaç uygulamasından sonra, hasta PNL'lerinin kemotaksi fonksiyonunun düzeldiği görülmüştür (41).

Bir çok antifungal ilacın kemotaksi üzerine etkisi incelenmiştir. Ancak incelenen antifungal ilaçların kemotaksi üzerine etki mekanizmaları kesin olarak bilinmemektedir (41). Bazı ilaçların Ca^{+2} ve Mg^{+2} iyonlarına bağlanarak kemotaksiyi inhibe ettiği sanılmaktadır (84).

Daha önce söz edildiği gibi, antifungal ilaçlardan amfoterisin B'nin düşük konsantrasyonlarda ($2\mu\text{g}/\text{ml}$) bile kemotaksiyi inhibe ettiği, mikonazol, griseofulvin ve nistatin'in ise inhibisyon özelliğinin bulunmadığı gösterilmiştir (41).

Antifungal ilaçların PNL'lerin kemotaksisi üzerine bu tür etkileri, bunların hücre zarına afiniteleri ile açıklanabilir. Örneğin amfoterisin B, nistatin ve diğer polien antibiyotikler hücre zarındaki sterollere afinite gösterirler (58).

PNL'lerin kemotaksisi, kemotaktik faktörlerin PNL'lerin yüksek afiniteli özel reseptörlere bağlanması ile başladığından reseptör afinitesini azaltan antifungal ilaç konsantrasyonlarının kemotaksiyi engellediğini söyleyebiliriz. Ancak in vitro koşullarda kemotaksının inhibe edilmesinin gösterilmesi, çoğu çalışmada in vivo koşullarda gösterilmemiş ya da çelişkili sonuçlar alınmıştır. Bizim çalışmamızda olduğu gibiimmün sistemi normal şekilde işleyen sağlıklı gönüllülerde ve ayrıca sağlıklı deney hayvanlarında in vivo koşullarda antimikrobik ilaçların immün sistem hücre fonksiyonları üzerine etkilerini araştıran ek çalışmalara gereksinim vardır.

Çalışmamızda $12.5 \mu\text{g}/\text{ml}$ plazma konsantrasyonuna ulaşan 300 mg flukonazol ile in vivo koşullarda etkileşime giren PNL'lerin süperoksit dismutaz

enzimi ve opsonize zimozan varlığında, süperoksit anyonu oluşturmaları üzerine flukonazol’ün etkisiz olduğu görülmüştür.

Kemotaksiyi inhibe eden amfoterisin B konsantrasyonunun ($2\mu\text{g}/\text{ml}$) O_2^- salinimini azaltmadığı bildirilmiştir (68).

Roilides ve ark.’ı (68), $>5 \mu\text{g}/\text{ml}$ konsantrasyonda amfoterisin B’nin O_2^- salinimini azalttığını yaptıkları çalışmalarla göstermişlerdir. Aynı araştırmacılar, yeni bir triazol olan Sch-39304’ün 0.5 - 1 $\mu\text{g}/\text{ml}$ konsantrasyonlarda O_2^- salinimini artırdığını bulmuşlardır. Bu konsantrasyon terapötik doz olmasına karşın bizim çalışmamızda terapötik dozda flukonazol O_2^- salinimini artırmamıştır. Daha ileri çalışmalarla Sch-39304’ün içinde çözündüğü maddenin kendisinin O_2^- salinimini artırdığı görüлerek bu fikir yürütülmüştür. Bu bulgular triazol grubu antifungal ilaçların, terapötik dozlarda O_2^- salinimi üzerine etkisiz kaldığını bir kez daha vurgulamaktadır. Yine aynı araştırmacı grubu tarafından yapılan bir çalışmada, ketokonazol, 5-flusitosin ve silofungin’in O_2^- salinimi üzerine belirli etkileri olmadığı gösterilmiştir.

Van der Auwera ve ark.’ı (83), silofungin’in $25 \mu\text{g}/\text{ml}$ gibi yüksek konsantrasyonda O_2^- salinimini anlamlı olarak inhibe ettiğini in vitro çalışmalarla göstermişlerdir. Bazı araştırmacılar tarafından O_2^- salinimi üzerine baskılıayıcı etkinin, antifungal ilaçların PNL’erdeki sterollere bağlanmasına bağlı hücre zarı harabiyetinin sonucu olduğu savunulmaktadır (54,68).

Çalışmamızda, $12.5 \mu\text{g}/\text{ml}$ plazma konsantrasyonuna ulaşan 300 mg flukonazol’ün in vitro deney koşullarında insan PNL’leri tarafından *Candida albicans*’ın hücre içi ölümünü, otuz ve doksan dakika sonra in vivo koşullara göre daha çok artırdığı görülmüştür.

Wildfeuer ve ark.’ı (89), yaptıkları çalışmada, flukonazol ile tedavi edilen hastaların serum düzeylerine karşılık gelen ve *Candida albicans* suşunun 10 - 40 katı MİK değeri olan ($5-20 \mu\text{g}/\text{ml}$) flukonazol’ün PNL’er üzerine etkisini incelemiştir. Bu konsantrasyonlardaki flukonazol’ün 2 ve 4 saat sonra insan PNL’leri tarafından *Candida albicans* blastosporlarının hücre içi ölümünü anlamlı

PNL'leri tarafından *Candida albicans* blastosporlarının hücre içi ölümünü anlamlı olarak artırmadığını, ancak flukonazol'ün 5,10,20 $\mu\text{g}/\text{ml}$ konsantrasyonlarının PNL'ler içindeki blastosporların yapısını bozarak blastosporlardan çimlenme borusu oluşumunu anlamlı olarak inhibe ettiğini göstermişlerdir. Bu çalışmada flukonazol'ün ve konak fagositlerinin (PNL ve makrofajlar) hücre içindeki *Candida albicans* canlılığını azaltmada, sinerjist rol oynadığı gösterilmektedir. Bizim çalışmamızda ise; flukonazol'ün 300 mg oral dozu *Candida albicans* suşunun 0.4 $\mu\text{g}/\text{ml}$ olan MIK değerinden yaklaşık 30 katı daha yüksek bulunan 12.5 $\mu\text{g}/\text{ml}$ plazma konsantrasyonuna karşılık gelmiştir. Flukonazol'ün bu dozu PNL ve *Candida albicans* ile otuz ve doksan dakika etkileşim sonunda, in vitro (A) koşullarda insan PNL'leri tarafından *Candida albicans*'ın hücre içi ölümü, doz öncesine (B) oranla daha fazla olmuştur. Bu sonuçlar, 12.5 $\mu\text{g}/\text{ml}$ flukonazol'ün *Candida albicans* üzerine direkt etkisi (D) ile karşılaştırıldığında, insan PNL'lerinin flukonazol ile birlikte *Candida albicans*'ın hücre içi ölümüne sinerjist etki ettiği görülmektedir. Bulgularımız Wildfeuer ve ark'ının (89), yaptıkları çalışmaya uygunluk göstermektedir.

In vivo (C) koşullarda ise; flukonazol'ün aynı dozu, PNL ve *Candida albicans* ile otuz ve doksan dakika etkileşim sonunda, in vitro (A) ve doz öncesi (B) etkiye oranla daha az etkili bulunmuştur. Ancak in vivo (C) etki, PNL yokluğunda flukonazol'ün *Candida albicans* üzerine etkisi (D) ile karşılaştırıldığında ilk otuz dakika sonunda azalırken, doksan dakika sonunda artmaktadır. Bu artışın tedavi dozundaki ilaçın immunoadjuvan kimyasal özellikleri yüzünden olabileceği ileri sürülmektedir (68). In vitro ve in vivo deney sonuçları arasındaki çelişkili bulgularımız, birçok araştırmacı tarafından yapılmış aynı tarzdaki çalışmalar ile uygunluk göstermektedir. Bu bilgiler ışığı altında flukonazol'ün tedavi dozunda kullanımının lokal ya da sistemik mantar infeksiyonlarının kontrolünde, konak savunma mekanizmasını destekleyici bir rolü olduğu söylenebilir.

Bir azol türevi olan ketokonazol ile bir triazol olan itrakonazol'ün bu ilaçlarla tedavi olmuş hasta serumlarında bulunan konsantrasyonlara karşılık gelen dozlarının, PNL'ler tarafından *Candida albicans*'ın hücre içi ölümüne ya da fagositoz üzerine anlamlı bir etkisi olmadığı bildirilmiştir. (39).

Farkas ve ark.'ı (28), ketokonazol (1-6 $\mu\text{g}/\text{ml}$) ve PNL arasındaki sinerjizmi in vitro koşullarda çalışmışlardır. Araştırmalarında ketokonazol'ün PNL fonksiyonlarını etkilemediği halde hücre içi ölümü doza bağlı olarak anlamlı bir şekilde artırdığını göstermişlerdir. Bu sonuçlar imidazol türevlerinin immünomodülatör etkisinin olmadığını, ancak antifungal etkilerinin olduğunu göstermektedir.

Senior ve ark.'ı (71), flukonazol'ün 5-20 $\mu\text{g}/\text{ml}$ terapötik dozlarının PNL fonksiyonlarını etkilemediğini in vitro deneylerle göstermişlerdir.

Roilides ve ark.'ı (68), yaptıkları çalışmada ketokonazol'ün 5 $\mu\text{g}/\text{ml}$ konsantrasyonda, Sch-39304'ün 1-5 $\mu\text{g}/\text{ml}$ gibi düşük tedavi konsantrasyonlarında PNL'ler tarafından *Candida albicans*'ın hücre içi ölümünü artırdığını, amfoterisin B'nin >5 $\mu\text{g}/\text{ml}$ konsantrasyonda ise fagositozu anlamlı olarak azalttığını göstermişlerdir.

Aynı araştırmacılar Sch-39304 ve silofungin'in 25-100 $\mu\text{g}/\text{ml}$ gibi çok yüksek konsantrasyonlarda, PNL'lerin *Candida albicans*'ın hücre içi ölümü üzerine olumsuz bir etki yaptığını göstermişlerdir. Buna karşın tedavi dozundaki silofungin ve 5-flusitosin'in PNL fonksiyonlarına karışmadığını bulmuşlardır.

Amfoterisin B'nin PNL'lerin *Candida albicans*'ın hücre içi ölümünü doza bağlı olarak artırdığı ve bu artışın tedavi dozundaki ilacın immünoadjuvant ve kimyasal özelliklerinden ileri gelebileceği bildirilmektedir (68).

Marmer ve ark.'ı (49) 1-2 $\mu\text{g}/\text{ml}$ tedavi dozunda amfoterisin B'nin fagositozu inhibe ettiğini savunurken; Björkstén ve ark.'ı (12) ise 20 $\mu\text{g}/\text{ml}$ gibi çok yüksek konsantrasyonda amfoterisin B'nin fagositozu inhibe ettiğini göstermişlerdir.

Fagositoz olayına antimikrobiklerin etkisini inceleyen bir çok çalışma yapılmıştır ve alınan sonuçlar çelişkilidir. Çalışmalara bakıldığına aynı gruptaki bazı antimikrobiklerin fagositozu etkilemediği görülrürken, aynı gruptan bazlarının fagositoz üzerine etkisinde çelişkili sonuçlar alınmıştır. Yüksek doz bazı

in vivo ve in vitro sonuçlarında fagositoya etki etmediği ya da inhibe ettiği gösterilmiştir (41).

Yukarıda bildirilen çalışmalardan da görüldüğü gibi antimikrobiklerin fagositoz olayına etkisinde heterojen bulgularla karşılaşılmaktadır. Bu bulgular, antimikrobiklerin fagositoz olayına etkisinin antibiyotığın etki mekanizmasına ve kimyasal grubuna bağlı olmadığını göstermektedir. Aynı antimikrobik deney koşullarına bağlı olarak tamamen çelişkili sonuçlar da verebilmektedir.

PNL'ler *Candida albicans*'a karşı konak savunmasının ilk basamağını oluşturur. PNL sayısının azalması ya da fonksiyonlarındaki bozukluklar kandidiyaz oluşumu için en önemli faktörlerdir (39). Gelişmiş tedavi yöntemleri; örneğin; transplantasyon esnasında meydana gelen immün sistemin baskılanması yaygın mikoz riskini taşırlı (37).

Sonuç olarak; çalışmamızdaki in vitro ve in vivo deney bulguları tedavi konsantrasyonundaki flukonazol'un PNL fonksiyonlarından, kemotaksi, süperoksit anyonu oluşumu ve fagositoya etki etmediği, in vitro koşullarda hücre içi aktiviteyi in vivo koşullara göre daha çok etkilediği fakat bu etkide flukonazol alımından önce ve sonraki zaman aralığında çok anlamlı bir fark görülmemiş saptanmıştır. Flukonazol az da olsa hücre içi aktiviteyi destekler gözükmemekte ve PNL'lerin plastik yüzeye aderensini artırmaktadır.

Kaynaklarda ve çalışmamızda da görüldüğü gibi antifungal tedavide ilaçların bazen immün sistem hücrelerini olumsuz yönde etkilediği ya da hiç etkilemediği, bazen de uyardığı görülmektedir. Bu nedenle; yeni antifungallerin tedavide uygulanmadan önce immün sistem hücreleri üzerine etkileri kesin araştırılmalıdır. Bu konuda araştırmalar ilerledikçe yeni antifungaller ve yeni yaklaşımlar ile mantar hastalıklarının tedavisinde şüphesiz daha başarılı sonuçlar alınacak ve tedavide büyük aşamalar kaydedilecektir.

ÖZET

Bu çalışmada, flukonazol'ün insan PNL fonksiyonları (aderens, kemotaksi, süperoksit anyonu oluşumu ve *Candida albicans*'ın hücre içi ölümü) üzerine etkisi *in vivo* da araştırılmıştır.

Sağlıklı gönüllülere oral 300 mg flukonazol uygulandıktan iki saat sonra doruk plazma konsantrasyonu $12.5 \mu\text{g}/\text{ml}$ olarak bulunmuştur.

Flukonazol'ün PNL'lerin aderensi üzerine etkisi Lowry protein yöntemi ile tayin edilmiştir. 300 mg flukonazol dozu öncesi ve sonrası protein konsantrasyonu sırası ile $44.28 \pm 5.73 \mu\text{g}/\text{ml}$ ve $45.18 \pm 5.58 \mu\text{g}/\text{ml}$ olarak bulunmuştur.

Flukonazol'ün PNL'lerin kemotaksisi üzerine etkisi Nelson'un agaroz altı yöntemi ile ölçülmüştür. Flukonazol (300 mg/oral) doz öncesi ve sonrası, PNL'lerin kemotaktik faktöre doğru göç farkları sırası ile $1.80 \pm 0.08\text{mm}$ ve $1.88 \pm 0.07\text{ mm}$ olarak bulunmuştur.

PNL'ler tarafından oluşturulan süperoksit anyonu, flukonazol (300 mg/oral) doz öncesi ve sonrası, sırası ile $12.52 \pm 1.346 \text{ nmol}/10^6 \text{ PNL}/30 \text{ dakika}$ ve $12.83 \pm 1.038 \text{ nmol}/10^6 \text{ PNL}/30 \text{ dakika}$ olarak bulunmuştur.

Flukonazol'ün PNL'ler tarafından *Candida albicans*'ın hücre içi ölümü üzerine etkisi, patlatılan PNL'lerden maya hücrelerinin salınmasından sonra canlı koloni sayımı ile tayin edilmiştir.

Flukonazol (300 mg/oral) in vitro koşullarda, PNL'ler tarafından *Candida albicans*'ın hücre içi ölümünü otuzuncu ve doksaninci dakikalarda, in vivo koşullara göre daha çok artırmıştır. Doksaninci dakikadaki in vitro etki ise doz öncesine göre anlamlı bulunmamıştır. Sonuç olarak in vitro ve in vivo deneyler arasında bir uyum görülmemiştir.

Flukonazol (300 mg/oral) uygulandıktan sonra, PNL'lerin aderensini anlamlı olarak artırmış, fakat kemotaksi ve PNL'ler tarafından oluşturulan süperoksit anyonu oluşumunu etkilememiştir.

SUMMARY

In this study, the effect of fluconazole on human PMN functions (adherence, chemotaxis, superoxide production and intracellular killing of *Candida albicans*) was investigated in vivo.

The peak plasma concentration of 12.5 µg/ml was reached in vivo in two hours after the administration of 300 mg fluconazole to healthy volunteers.

The effect of fluconazole on adherence of PMNs was determined by Lowry's protein method. The protein concentration before treatment and after 300 mg fluconazole dose were found to be 44.28 ± 5.73 µg/ml and 45.18 ± 5.58 µg/ml respectively.

The effect of fluconazole on chemotaxis of PMNs was measured by Nelson's under agarose method. The migration distance of PMNs towards the chemotactic factor before treatment and after the administration of 300 mg fluconazole were found to be 1.80 ± 0.08 mm and 1.88 ± 0.07 mm respectively.

The superoxide production of PMNs before treatment and after the administration of 300 mg fluconazole were found as 12.52 ± 1.346 nmol/ 10^6 PMN/30 min. and 12.83 ± 1.038 nmol/ 10^6 PMN/30 min. respectively.

The effect of fluconazole on intracellular killing of *Candida albicans* by PMNs was determined by viable colony count, after release of yeast cells from disrupted neutrophils.

Fluconazole (300 mg/per os) increased the PMN's killing of *Candida albicans* 30th and 90th min. of exposure in vitro, compared to in vivo conditions. The in vitro effect at 90th min. of exposure was not found significant compared to that of pretreatment. Finally, between in vitro and in vivo tests no correlation was found.

The adherence of PMNs after the administration of 300 mg fluconazole was significantly enhanced, whereas, chemotaxis, as well as superoxide production of PMNs were not affected.

KAYNAKLAR

1. Akan E: Genel Mikrobiyoloji ve İmmunoloji. Ç Ü Tıp Fak Yayınları, No.16, s.251 (1992).
2. Alexander JW, Windhorst DB, Good RA: Improved tests for the evaluation of neutrophil function in human disease, *J Lab Clin Med* 72 (1):136 (1968).
3. Anaissie A, Paetznick V, Bodey GP: Fluconazole susceptibility testing of *Candida albicans*: Microtiter method that is independent of inoculum size, temperature, and time of reading, *Antimicrobial Agents and Chemotherapy*, 35(8):1641 (1991).
4. Babior BM, Cohen HJ: Measurement of Neutrophil Function: Phagocytosis, Degranulation, the Respiratory Burst and Bacterial Killing. "Cline, M. J. (ed.): Methods in Hematology (Leukocyte Function)", p1, 1st Ed, Churchill Livingstone, New York, Edinburg, London, Melbourne, (1981).
5. Babior BM, Kipnes RS, and Curnutt JT: The production by leukocytes of superoxide, a potential bactericidal agent, *The Journal of Clinical Investigation*, 52:741 (1973).
6. Badur S: Antimikrobiklerin immün sisteme istenmeyen etkileri. *Klinik Derg*, Cilt 4.sayı 3, s.105 (1991)
7. Bailey EM, Krakowsky DJ, Rybak MJ: The triazole antifungal agents: A review of itraconazole and fluconazole. *Pharmacotherapy*, 10(2):146 (1990).
8. Burette-Bee K, Hayes Y, Wilson RG, Ryler JF: A comparison of phospholipase activity, cellular adherence and pathogenicity of yeasts. *J Gen Microbiol.*, 131:1217 (1985)
9. Bauer JD: Clinical Laboratory Methods. p198, 9th Ed, The C V Mosby Company, St. Louis, Toronto, Princeton, (1982).
10. Bauer TM, Kronsteiner W, Bassler M, Daschner FD: Sensitivity testing with ketoconazole in an assay containing *Candida albicans*. human polymorphonuclear leukocytes and serum , *Eur.J.Clin.Microbiol.*5(6):665 (1986).
11. Beşe M: Mikrobiyolojide Kullanılan Antibiyotik Duyarlılık ve Deneme Yöntemleri. 1.Baskı, İstanbul, Kardeşler basımevi, s.99 (1989).
12. Björkstén B, Ray C and Quie PG: Inhibition of human neutrophil chemotaxis and chemiluminescence by amphotericin B. *Infection and Immunity* 14(1):315 (1976).
13. Bolignano G, Chindemi G and Crisco G: Cryptococcal meningoencephalitis in a patient with Hodgkins lymphoma: succesful treatment with fluconazole. *Mycoses* 34:63 (1991).

14. Buxton MJ, Dubois DJ, Turner RR et al: Cost implications of alternative treatments for AIDS patients with cryptococcal meningitis . Comparison of fluconazole and amphotericin B based therapies. *Journal of Infection* 23:17 (1991).
15. Casone A, Mattia E, Boldrini L: Aglutination of blastopores of *Candida albicans* by concanavalin A and its relationship with the distribution of mannan polymers and the ultrastructure of the cell wall. *J Gen Microbiol* 105:263 (1978).
16. Cassone A , Simonetti N, Stripoli V: Ultrastructural changes in the wall during germ tube formation from blastopores of *Candida albicans*. *J Gen Microbiol* 77:417 (1973).
17. Chapman-Kirkland ES, Wasvary JS, and Seligmann BE: Superoxide anion production from human neutrophils measured with an improved kinetic and endpoint microassay. *Journal of Immunological Methods* 142:95 (1991).
18. Cutler JE: A simple in vitro method for studies on chemotaxis. *Proceedings of The Society for Experimental Biology and Medicine* 147: 471 (1974).
19. Çetin ET: Genel ve Pratik Mikrobiyoloji. 3.Baskı, İstanbul, Sermet Matbaası, s.183 (1973).
20. Dahinden CA, Fehr J and Hugli TE: Role of cell surface contact in the kinetics of superoxide production by granulocytes. *J Clin Invest.*,72:113 (1983).
21. Davies RR and Zaini F: Antifungal drugs affecting the chemotaxis of polymorphonuclear neutrophils. *Sabouraudia: Journal of Medical and Veterinary Mycology* 23:119 (1985).
22. Dermoumi H: In vitro susceptibility of yeasts isolates from the blood to fluconazole and amphotericin B. *Chemotherapy* 38(2):112 (1992).
23. Douglas JL: Adhesion of *Candida* species to epithelial surface, *CRC Critical Reviews in Microbiology* 15:24 (1987).
24. Douglas JL: Adhesion of pathogenic *Candida* species to host surface, *Microbiological Scince* 2:243 (1985).
25. Douglas JL: Adhesion to surfaces. "Rose AH and Harrison JS (eds.): The Yeast," P.239, Academic Press, London, (1987).
26. Edvard JE: *Candida* species."Mandell GL, Douglas RG, Bennett JE (eds.): Principles and Practice of Infectious Diseases," p. 1943. Churchill Livingstone, New York, Edinburg, London; Melbourne (1990).
27. Ener B: *Candida albicans* suslarında epitel hücrelerine bağlanma ve bununla yüzey hidrofobik özellikleri arasındaki ilişkinin araştırılması, M Ü Tip Fak Mikrobiyoloji Anabilim Dalı, Uzmanlık tezi, İstanbul (1991).
28. Farkas B and Dobozy A: The effect of ketocanazole on the phagocytosis and intracellular killing of *Candida albicans* by polymorphonuclear granulocytes. *Mycosen* 26(1):22 (1983).
29. Gabler WL, and Creamer HR: Suppression of human neutrophil functions by tetracyclines, *J Periodont Res* 26:52 (1991).
30. Garcia I, Paseur A, Conejo C, Salvador J, Perea EJ: Effect of antimicrobial and antineoplastic drugs on the uptake of fluconazole by human neutrophils and tissue culture cells, *Eur J Clin Microbiol Infect Dis* 12:944 (1993).
31. Gil A, Lavilla P, Valencia E, Pintado V, Dupla ML, Khamashtha MA, Garcia-Puig J and Ortiz-Vazquez J: Safety and efficacy of fluconazole treatment for *Candida* oesophagitis in AIDS. *Postgrad Med J* 67:548 (1992).

32. Gülen D: *Candida albicans* üzerinde çeşitli nitelikteki ilaçların etkilerinin karşılaştırılması. MÜ Sağlık Bilimleri Enstitüsü Mikrobiyoloji Anabilim Dalı Doktora Tezi, İstanbul (1992).
33. Gülmezoglu E, Ergüven S: İmmünoloji. Ankara. Feryal Matbaası, s.107 (1994).
34. Hamilton CW, Romankiewicz JA: Susceptibility testing: A practical review. "Kobayashi GS, Odss FC(eds): Current perspectives on antifungal susceptibility testing: Focus on fluconazole", Scientific Therapeutics Information, Inc, 7 (1989).
35. Hauser J E, Remington JS: Effect of antibiotics on the immune response. Am J Med 72:711 (1982).
36. Hay RJ: The azole antifungal drugs, Journal of Antimicrobial Chemotherapy 20:1 (1987).
37. Husseini RH, Hoadley ME, Hutchinson JJP, Penn CW and Smith H: Intracellular killing of candida albicans by human polymorphonuclear leukocytes: Comparison of three methods of assessment, Journal of Immunological Methods 81: 215 (1985).
38. Johansson CB: Antibiyotikler 2.Baskı, İstanbul Eczacı Odası Yayınları, No.17 s.68 (1990).
39. Johnson EM, Warnock DW, Richardson MD, and Douglas CJ: In vitro effect of itraconazole, ketoconazole and amphotericin B on the phagocytic and candidacidal function of human neutrophils, Journal of Antimicrobial Chemotherapy 18:83 (1986).
40. Kılıçturgay K: İmmünolojiye Giriş. 2.Baskı, Bursa, Karar Matbaası, s.113 (1991).
41. Korzeniowski OM: Effects on antibiotics on the mammalian immune system, Infect Dis Clin Nort Am 3:469 (1989).
42. Kreméry Jr. V, Koza I, Horníkova M, Fuchsberger P, Spaník S, Mardiak J, Suflarsky J, Blahová M, Savko V, Migon Ch: Fluconazole in the treatment of mycotic oropharyngeal stomatitis and esophagitis in neutropenic cancer patient. Chemotherapy 37:343 (1991).
43. Kwan-Chung KJ, Bennett JE: Medical Mycology, p280, Lea and Febiger, Philadelphia London (1992).
44. Laine L, Dretler RH, Conteas CN, Tuazon C, Koster FM, Sattler F, Squires K and Islam MZ: Fluconazole compared with ketoconazole for the treatment of Candida esophagitis in AIDS, Annals of Internal Medicine 117(8):655 (1992).
45. Lohr KM, Snyderman R: Amphotericin B alters the affinity and functional activity of the olyopeptide chemotactic factor receptor on human polymorphonuclear leukocytes. The Journal of Immunology 129(4):1594 (1982).
46. Lorian V: Antibiotics in Laboratory Medicine, p212, 2nd Ed, Williams and Wilkins, Baltimore, London, Los Angeles, Sydney (1986).
47. Lowry OH, Rosebrough NJ, Farr AL and Randall RJ: Protein measurement with the folin phenol reagent, J Biol Chem 3:265 (1952).
48. Mandell LA: Effects of antimicrobial and antineoplastic drugs on the phagocytic and microbicidal function of the polymorphonuclear leukocyte. Rev Infect Dis 4(3):683 (1982).
49. Marmer DJ, Fields BT, France GL and Steele RW: Ketoconazole, amphotericin B and amphotericin B methyl ester: Comparative in vitro and in vivo toxicological effects on neutrophil function, Antimicrob Agents Chemother 20:660 (1981).
50. Martin E, Parros P, Lozano M del C: In vitro susceptibility of 245 yeast isolates to amphotericin B, 5-fluorocytosine, ketoconazole, fluconazole and itraconazole, Chemotherapy 38:335 (1992).

51. Meço O, Willke A, Balık İ, Kurt H: Antimikrobiyal Kemoterapi, Klinik Uygulama ve Yenilikler, Ankara, Türk Mikrobiyoloji Cemiyeti Yayınları, No.17, s.16, (1992).
52. Meunier F, Aoun M and Gerard M: Therapy for oropharyngeal Candidiasis in the immunocompromised host: A randomized double-blind study of fluconazole vs. Ketoconazole, *Rev Infect Dis* 12(3):364 (1990).
53. Mikami Y, Takahashi A, Yazawa K, Terao K and Ueno Y: Synergistic interaction of miconazole and fluconazole at sub-MIC level on *Candida albicans*, *Mycoses* 35:327 (1992).
54. Morace G, Manzara S, Dettori G: In vitro susceptibility of 119 yeast isolates to fluconazole, 5-fluorocytosine, amphotericin B and ketoconazole, *Chemotherapy* 37(1):23 (1991).
55. Morrow JD: Fluconazole: A new triazole antifungal agent, *Am J Med Sci* 302(2):129 (1991).
56. National Committee for Clinical Laboratory Standards: Methods for dilution antimicrobial susceptibility tests for bacteria that grow aerobically, Approved standard M7-A Villanova, Pa. (1985).
57. Nelson RD, Quie PG, Simmons RL: Chemotaxis under agarose: A new and simple method for measuring chemotaxis and spontaneous migration of human polymorphonuclear leukocytes and monocytes, *The Journal of Immunology* 115(6):1650 (1975).
58. Odds FC: Laboratory evaluation of antifungal agents: A comparative study of clinical importance, *J Antimicrob Chemother* 22:749 (1980).
59. Pallister CJ and Warnock DW: Effects of antimicrobial and antineoplastic drugs alone and in combination on the phagocytic and candidacidal function of human polymorphonuclear leukocytes, *Journal of Antimicrobial Chemotherapy* 23:87 (1989).
60. Pascual A, Garcia I, Conejo C and Perea EJ: Uptake and intracellular activity of fluconazole in human polymorphonuclear leukocytes, *Antimicrob Agents Chemother* 37(2):187 (1993).
61. Pfaller MA, Dupont B, Kobayashi GS Müller J, Rinaldi MG, Espinel-Ingroff A, Shadomy S, Troke PF, Walsh TJ and Warnock DW: Standardized susceptibility testing of fluconazole: An international collaborative study, *Antimicrob Agents Chemother* 36(9):1805 (1992).
62. Pick E and Mizel D: Rapid microassays for the measurement of superoxide and hydrogen peroxide production by macrophages in culture using an automatic enzyme immunoassay reader, *Journal of Immunological Methods* 46:211 (1981).
63. Richardson K, Cooper K, Marriot MS, Tarbit MH, Troke PF and Whittle PJ: Discovery of fluconazole, a novel antifungal agent, *Rev Infect Dis* 12(3):267 (1990).
64. Richardson MD and Shankland GS: Effects of cilofungin on phagocytosis and intracellular killing of *Candida albicans* by human neutrophils, *Eur J Clin Microbiol Infect Dis* 11(1):22 (1992).
65. Ripa S, Ferrante L, Prenna M: Pharmacokinetics of fluconazole in normal volunteers, *Cancer Chemotherapy* 39:6 (1993).
66. Roberts GD: Laboratory Methods in Basic Mycology. "Baron EJ, Finegold SM (eds): Bailey & Scott's Diagnostic Microbiology", p747, The CV Mosby Company, St Louis, Baltimore, Philadelphia, Toronto (1990).
67. Rogers TE, Galgiani JN: Activity of fluconazole (UK 49.858) and ketoconazole against *Candida albicans* in vitro and in vivo, *Antimicrob Agents Chemother* 30(3):418 (1986).
68. Roilides E, Walsh TJ, Rubin M, Venzon D and Pizzo PA: Effects of antifungal agents on the function of human neutrophils in vitro, *Antimicrob Agents Chemother* 34(2):196 (1990).

69. Roit I, Brostoff J, Male D: Immunology, pp2.16, 15.14, 3rd Ed, Mosby, St Louis, Baltimore, London (1993).
70. Saag MS, Dismukes WE: Azole antifungal agents: Emphasis on new triazoles, *Antimicrob Agents Chemother* 32(1):1 (1988).
71. Senior DS and Show JTB: In vitro effects of fluconazole (UK-49,858) and ketoconazole on mouse lymphocyte proliferation and on *Candida albicans* blastospore destruction by human polymorphonuclear leukocytes, *Int J Immuno-pharmacol* 10:169 (1988).
72. Shapira R, Borinsky R, Sela MM and Soskolne A: Superoxide formation and chemiluminescence of peripheral polymorphonuclear leukocytes in rapidly progressive periodontitis patients, *J Clin Periodontol* 18:44 (1991).
73. Sheehan DJ, Espinel-Ingroff A, Moore LS Webb CD: Antifungal susceptibility testing of yeast: A brief overview, *Clin Infect Dis* 17(Suppl 2):S494 (1993).
74. Silverman LM, Christenson RH, Grant GH: Aminoacids and proteins. "Tietz NW (ed):Textbook of clinical chemistry", p584 WB Saunders Company, Philadelphia, London, Toronto (1986).
75. Stern JJ, Hartman BJ, Sharkey P, Rowland Squires KE, Murray HW, Graybill RJ:Oral fluconazole therapy for the patients with acquired immunodeficiency syndrome and cryptococcosis: Experience with 22 patients, *The American Journal of Medicine* 85:477 (1988).
76. Stevens DA: The new generation of antifungal drugs, *Eur J Clin Microbiol Infect Dis* 7(6):732 (1988).
77. Tellier R, Krajden M, Grigoriew GA and Campbell I: Innovative endpoint determination system for antifungal susceptibility testing of yeasts, *Antimicrob Agents Chemother* 36(8): 1619 (1992).
78. Territo MC: Chemotaxis. "Cline MJ (ed), Leukocyte Function", p39, 1st Ed, Churchill Livingstone, New York, Edinburgh, London, Melbourne (1981).
79. Tucker RM, Williams PL, Arathoon EG, Levine BE, Hartstein AI, Hanson LH and Stevens DA: Pharmacokinetics of fluconazole in cerebrospinal fluid and serum in human coccidioidal meningitis, *Antimicrob Agents Chemother* 32(3):369 (1988).
80. Tümbay E: Pratik Tip Mikolojisi. 1. Baskı. İzmir, Bilgihan Basimevi s.45 (1983).
81. Unat EK: Temel Mikrobiyoloji. Kırklareli, Sermet Matbaası s.517 (1985).
82. Van der Auwera P, Husson M: Influence of rifampicin and ansamycin on motility and adherence of human neutrophils studied in vitro, *Journal of Antimicrobial Chemotherapy* 24:347 (1989).
83. Van der Auwera P, Meunier F: In vitro effects of cilofungin (LY121019), amphotericin B and amphotericin B-deoxycholate on human polymorphonuclear leukocytes. *Journal of Antimicrobial Chemotherapy* 24:747 (1989).
84. Van den Brock PJ:Antimicrobial drugs, microorganisms and phagocytes, *Rev Infect Dis* 1(2):213 (1989).
85. Van Etten Els WM, Van de Rhee NE, Van Kampen KM and Bakker-Woudenberg Irma AJM: Effects of amphotericin B and fluconazole on the extracellular and intracellular growth of *Candida albicans*, *Antimicrob Agents Chemother* 35(11):2275 (1991).

86. Van't Wout JW, Mattie H and Van Furth R: Comparison of the efficacies of amphotericin B, fluconazole and itraconazole against a systemic *Candida albicans* infection in normal and neutropenic mice. *Antimicrob Agents Chemother* 33(2): 147 (1989).
87. Veringa EM, Verhoef J: Clindamycin at subinhibitory concentrations enhances antibody and complement-dependent phagocytosis by human polymorphonuclear leukocytes of *Staphylococcus aureus*. *Cancer Chemotherapy* 33:243 (1987).
88. Wagner DK, Collins-lech C and Sohnle PG: Inhibition of neutrophil killing of *Candida albicans* pseudohyphae by substances which quench hypochlorous acid and chlornamines. *Infection and immunity* 51(3):731 (1986).
89. Wildfeuer A, Laufen H and Haferkamp O: Interaction of fluconazole and human phagocytic cells. *Arzneim-forsch/Drug Res* 40(11):1044 (1990).
90. Wilke A, Cerikcioğlu N, İnci R, Arslan H, Demirkazık A: Kanserli hastalardan izole edilen kandida türlerinin antifungallere duyarlılıklarları, *Türk Mikrobiyol Cem Derg* 23:119 (1993).
91. Yegin O: Temel İmmünoloji ve İmmün Eksiklik Hastalıkları. Ankara, Palme Yayımları, s.113 (1990).